

# **Primjena različitih postupaka dimenzioniranja hidroelektrane u obliku vodnog kola - primjer Matinog mlina na rijeci Donjoj Dobri u Jaškovu**

---

**Blažun, Marija**

**Master's thesis / Diplomski rad**

**2023**

*Degree Grantor / Ustanova koja je dodijelila akademski / stručni stupanj:* **University North / Sveučilište Sjever**

*Permanent link / Trajna poveznica:* <https://urn.nsk.hr/urn:nbn:hr:122:583945>

*Rights / Prava:* [In copyright/Zaštićeno autorskim pravom.](#)

*Download date / Datum preuzimanja:* **2024-05-12**

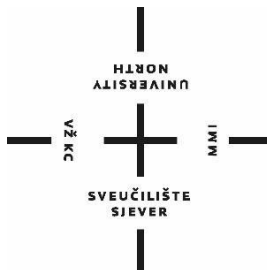


*Repository / Repozitorij:*

[University North Digital Repository](#)



**SVEUČILIŠTE SJEVER**  
**SVEUČILIŠNI CENTAR VARAŽDIN**  
**Studij Graditeljstva**



DIPLOMSKI RAD br. 78/GRD/2023

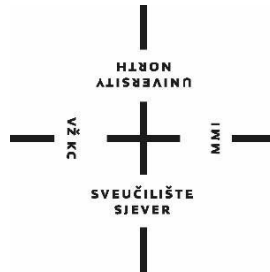
**PRIMJENA RAZLIČITIH POSTUPAKA DIMENZIONIRANJA  
HIDROELEKTRANE U OBLIKU VODNOG KOLA - PRIMJER  
MATINOG MLINA NA RIJECI DONJOJ DOBRI U JAŠKOVU**

Marija Blažun, 1204/336D

Varaždin, srpanj 2023.



**SVEUČILIŠTE SJEVER**  
**SVEUČILIŠNI CENTAR VARAŽDIN**  
**Studij Graditeljstva**



DIPLOMSKI RAD br. 78/GRD/2023

**PRIMJENA RAZLIČITIH POSTUPAKA DIMENZIONIRANJA  
HIDROELEKTRANE U OBЛИKУ VODNOG KOLA - PRIMJER  
MATINOG MLINA NA RIJECI DONJOJ DOBRI U JAŠKOVU**

Student:

Marija Blažun, 1204/336D

Mentor:

Izv.prof.dr.sc. Bojan Đurin

Varaždin, srpanj 2023.

## Prijava diplomske rade

### Definiranje teme diplomske rade i povjerenstva

**ODJEL:** Odjel za graditeljstvo

**STUDIJ:** diplomski sveučilišni studij Graditeljstvo

**PRIступник:** Marija Blažun | **JMBAG:** 0160136232

**DATUM:** 28.03.2023. | **KOLEGI:** Vodni sustavi

**NASLOV RADA:** Primjena različitih postupaka dimenzioniranja hidroelektrane u obliku vodnog kola - primjer Matinog mlina na rijeci Donjoj Dobri u Jaškovu

**NASLOV RADA NA ENGLESKU:** Application of various procedures for sizing hydroelectric power plant in the form of a water wheel - an example of the Matin Mlin on the river Donja Dobra in Jaskovo

**MENTOR:** dr.sc. Bojan Đurić | **ZVANJE:** Izvanredni profesor

**ČLANOVI POVJERENSTVA:** prof.dr.sc. Ivanka Netinger Grubeša

1. izv.prof.dr.sc. Bojan Đurić

2. doc.dr.sc. Andelko Crnoja

3. doc.dr.sc. Željko Kos-zamjenski član

4.

5.

### Zadatak diplomske rade

**BRD:** 78/GRD/2023

**OPIS:**

Rad će prikazati različite načine i metodologije dimenzioniranja hidroelektrane u obliku vodnog kola na stvarnom primjeru na rijeci Donjoj Dobri. Mogućnost proizvodnje električne energije analizirati će se na izgrađenom mlinu, tj. vodnom kolu Matinog mlina u Jaškovu.

Okvirni sadržaj rada sastojati će se od uvodnog poglavlja, teoretskih postavki o elektranama u obliku vodnog kola, hidrološku i hidrauličku analizu, primjer proračuna, analizu dobivenih rezultata i zaključak. Rad će uz stručni, imati i znanstveni doprinos budući da prikazana metodologija dimenzioniranja i analize funkcionalnih zavisnosti dobivenih rezultata još nije provedena na razini Hrvatske i svijeta.

**ZADATAK URUČEN:** 05.04.2023.

**POTPIS MENTORA:**



# Sveučilište Sjever



SVEUČILIŠTE  
SJEVER

## IZJAVA O AUTORSTVU

### SUGLASNOST ZA JAVNU OBJAVU

Završni/diplomski rad isključivo je autorsko djelo studenta koji je isti izradio te student odgovara za istinitost, izvornost i ispravnost teksta rada. U radu se ne smiju koristiti dijelovi tudihih radova (knjiga, članaka, doktorskih disertacija, magisterskih radova, izvora s interneta, i drugih izvora) bez navođenja izvora i autora navedenih radova. Svi dijelovi tudihih radova moraju biti pravilno navedeni i citirani. Dijelovi tudihih radova koji nisu pravilno citirani, smatraju se plagijatom, odnosno nezakonitim prisvajanjem tuđeg znanstvenog ili stručnoga rada. Sukladno navedenom studenti su dužni potpisati izjavu o autorstvu rada.

Ja, Marija Blažun pod punom moralnom, materijalnom i kaznenom odgovornošću, izjavljujem da sam isključivi autor diplomskega rada pod naslovom „Primjena različitih postupaka dimenzioniranja hidroelektrane u obliku vodnog kola - primjer Matinog mlina na rijeci Donjoj Dobri u blizini Jaškova“ te da u navedenom radu nisu na nedozvoljeni način (bez pravilnog citiranja) korišteni dijelovi tudihih radova.

Student:  
*Marija Blažun*

*Marija Blažun*  
(vlastoručni potpis)

Sukladno Zakonu o znanstvenoj djelatnosti i visokom obrazovanju završne/diplomske radove sveučilišta su dužna trajno objaviti na javnoj internetskoj bazi sveučilišne knjižnice u sastavu sveučilišta te kopirati u javnu internetsku bazu završnih/diplomskih radova Nacionalne i sveučilišne knjižnice. Završni radovi istovrsnih umjetničkih studija koji se realiziraju kroz umjetnička ostvarenja objavljaju se na odgovarajući način.

Ja, Marija Blažun neopozivo izjavljujem da sam suglasan s javnom objavom diplomskega rada pod naslovom „Primjena različitih postupaka dimenzioniranja hidroelektrane u obliku vodnog kola - primjer Matinog mlina na rijeci Donjoj Dobri u blizini Jaškova“ čiji sam autor.

Student:  
*Marija Blažun*

*Marija Blažun*  
(vlastoručni potpis)

## **Sažetak:**

U ovom diplomskom radu prikazana je primjena različitih postupaka dimenzioniranja hidroelektrane u obliku vodnog lica na primjeru Matinog mlina na rijeci Donjoj Dobri U Jaškovu. Kako bi se dokazala mogućnost i potencijal proizvodnje električne energije na mlinici, na lokaciji Matinog mlina su provedena hidrometrijska mjerjenja. Princip proizvodnje električne energije kod vodenica sličan je i proizvodnji električne energije kod hidroelektrana. Kao i kod hidroelektrana, potencijalna energija vode koja se kroz dovodne kanale ili cjevovode dovodi do turbine ili u slučaju kod vodenica do mlinskog kola pretvara se u kinetičku energiju. Provedena mjerjenja su izvršena pomoću ultrazvučnog mjerača FlowTracker2 i radarskog mjerača SQ-R FlowMeter te mjerača broja okretaja Tachometer. Nakon mjerjenja proračunate su snage turbine u obliku vodnog kola te je napravljena analiza dobivenih rezultata. Cjelokupni opis uređaja, mjerjenja i proračuna prikazani su u radu.

Ključne riječi: Donja Dobra, mlinica, vodno kolo, protok, brzina vode, proizvodnja električne energije, snaga turbine.

## **Summary:**

In this graduation thesis is shown the application of different hydroelectric power plant dimensioning process, in the form of a water surface, on the example of the Matin mill situated on the Donja Dobra river in Jaškovo. In order to prove the possibility and potential of electricity production at the mill, hydrometric measurements were carried out at the location of the Matin mill. The principle of electricity production at water mills is similar to the production of electricity at hydroelectric power plants. As is the case with the hydroelectric power plants, the potential energy of the water that has been brought through supply channels or pipelines to the turbine or, in the case of water mills, to the mill wheel is converted into kinetic energy. The measurements were carried out by means of the FlowTracker2 ultrasonic meter, the SQ-R FlowMeter radar meter, and the Tachometer. Once the measurements have been done, the power of the turbine in the form of a water wheel was calculated, and the obtained results were analyzed. The complete description of the device, measurements and calculations are presented in the paper.

Key words: Donja Dobra, mill, water wheel, water flow, water speed, electricity production, turbine power.

# Sadržaj

<b>1. Uvod .....</b>	<b>1</b>
<b>2. Princip proizvodnje električne energije iz vodnih kola.....</b>	<b>3</b>
<b>3. Hidrološka analiza promatrane lokacije .....</b>	<b>10</b>
3.1. Mjerna postaja Lešće Toplice .....	11
3.2. Mjerna postaja Stative Donje.....	20
3.3. Provodenje hidrometrijskih mjerena na rijeci Donjoj Dobri u blizini Matinog mlina .....	25
3.3.1. Postupak mjerena pomoću uređaja Flow Tracker2.....	25
3.3.2. Rezultati mjerena – Flow Tracker 2 uređaj .....	28
3.3.3. Postupak mjerena pomoću uređaja SQ-R Flow Meter .....	41
<b>4. Primjer dimenzioniranja hidroelektrane u obliku vodnog kola – Matin mlin,         Donja Dobra .....</b>	<b>46</b>
4.1. Opis lokacije i princip rada Matinog mlina.....	46
4.2. Proračunate snage turbine u obliku vodnog kola .....	53
<b>5. Analiza dobivenih rezultata .....</b>	<b>56</b>
<b>6. Zaključak.....</b>	<b>58</b>
<b>Popis slika .....</b>	<b>59</b>
<b>Popis tablica.....</b>	<b>61</b>
<b>Literatura .....</b>	<b>62</b>

## 1. UVOD

Vodna kola (vodeni kotači) su najraniji hidraulični strojevi koji su se u antici koristili za pretvaranje energije vode u mehaničku energiju. Zbog njihove jednostavne instalacije, niskih troškova održavanja te zahvaljujući mogućnosti korištenja lokalne radne snage i materijala za njihovu izgradnju, danas se vodna kola ponovno koriste za opskrbu energijom, osobito u udaljenim područjima i zemljama u razvoju.

Najstarija znanstvena istraživanja koja su provedena na protočnim mlinskim vodnim kolima datiraju od 18. stoljeća. S vremenom su se metode dimenzioniranja vodnih kola poboljšale. Znanstveni interes za vodenim mlinskim kolima je tijekom 20. stoljeća bio u padu, iako su se vodna kola i dalje nastavila koristiti tijekom početka dvadeset i prvog stoljeća. Kod istraživanja vodnih kola, većina rada provedena je u svezi istraživanja hidrauličkih svojstava, odnosno istraživanja izlazne snage i optimalne brzine rotacije.

Odabir metoda dimenzioniranja vodnih kola utemeljen je s obzirom na tri promatrana aspekta: 3D geometrijsko modeliranje, analizu korištenjem aplikacija koji uključuju proračunatu dinamiku fluida i na konačnu analizu posmičnih sila uzrokovane interakcijom s fluidom. Neka istraživanja predlažu sveobuhvatno dimenzioniranje protočnog radnog kola, prilikom čega se uzimaju u obzir i strukturni aspekti, zakretni moment opterećenja, zakretni moment pokretanja, izlazna snaga i učinkovitost, kao i dizajn osovine i ležajeva [1].

Hidroenergija može imati veliku ulogu na lokalnoj i regionalnoj razini za društveno-gospodarski razvoj, budući da se hidroelektrane često grade u kombinaciji s novom infrastrukturom. Za velike hidroelektrane, znatne dodatne koristi mogu doći od višenamjenskog korištenja akumulacija korištenih za proizvodnju hidroenergije, budući da voda uskladištena u akumulacijama može pridonijeti povećanim protocima na nizvodnim predjelima (npr. u razdoblju niskih vodostaja ili suša). U vrijeme poplava, akumulacije mogu, ako se njima upravlja na ispravan način, pridonijeti zadržavanju vode i ublažavanju posljedica poplava [2].

Tijekom povijesti hidroenergija se koristila za pokretanje mehaničkih uređaja kao što su mlinovi, drobilice, crpke i drugo prenošenjem energije s vodeničkog kola. Prvi dokaz o vodeničkom kolu pogonjen vodom potječe iz trećeg stoljeća prije nove ere, u mjestu Perahora u Grčkoj. Prva industrijska revolucija temelji se na ugljenu kao energentu, ali je

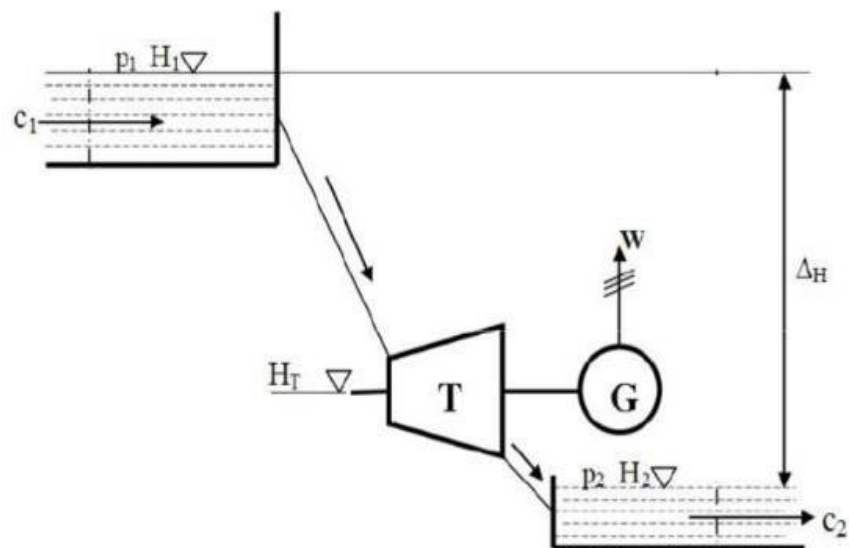
povezana i sa hidroenergijom što je predstavljalo tehnološki napredak izumom strojeva pokretanih vodeničkim kolom.

Godine 1882. kod mjesta Appleton (sjever SAD) na rijeci Fox izgrađena je prva hidroelektrana snage 12,5 kW koja je opskrbljivala električnom energijom nekoliko objekata [3].

U ovome radu dan je pregled svih postojećih metoda dimenzioniranja hidroelektrana u obliku vodnog kola na primjeru Matinog mlina na rijeci Dobri u mjestu Jaškovo u Karlovačkoj županiji. S obzirom na raspoložive podatke i njihovu mogućnost dobivanja, tj. uvjete kod terenskih mjerjenja, razmotriti će se relevantni izrazi za dobivanje snage turbine, odnosno hidroelektrane u obliku vodnog kola.

## 2. PRINCIP PROIZVODNJE ELEKTRIČNE ENERGIJE IZ VODNIH KOLA

Vodenice su jedan od najnovijih, ali najstarijih oblika proizvodnje čiste energije. Ova tehnologija može iskoristiti energiju tekućih potoka, rijeka ili kanala [5]. Slika 1 prikazuje princip rada hidroelektrane, odnosno protok vode kroz energetski sustav. Sličan princip primjenjuje se i kod proizvodnje električne energije pomoću vodnih kola.



$m$  – protok  
mase vode [kg/s]

$\rho$  – gustoća vode [kg/m<sup>3</sup>]

$p$  – tlak zraka na površini vode [N/m<sup>2</sup>]

$T$  – turbina

$H$  – razina vode [m]

$c$  – brzina vode [m/s]

$W$  – električna energija [W]

$G$  – generator

Slika 1. Princip rada hidroelektrane [13].

Princip proizvodnje električne energije kod vodenica sličan je i proizvodnji električne energije kod hidroelektrana. Kao i kod hidroelektrana, potencijalna energija vode koja se kroz dovodne kanale ili cjevovode dovodi do turbine ili u slučaju kod vodenica do mlinskog kola pretvara se u kinetičku energiju.

Uz zanemarivanje gubitaka strujanja, primjenom zakona očuvanja energije za maseni protok vode dobiva se općeniti izraz za energiju, koju masa tekućine ima na ulazu u turbinu [6].

$$E = m \cdot g \cdot \Delta H \text{ [J]} \quad (1)$$

Maseni protok vode može se izraziti kao produkt volumnog protoka  $Q$  [ $\text{m}^3/\text{s}$ ] i gustoće  $\rho$  [ $\text{kg}/\text{m}^3$ ] te se u konačnici dobije izraz za vodnu snagu mase tekućine na ulazu u turbinu, odnosno za snagu hidroelektrane [6].

$$P = Q \cdot \rho \cdot g \cdot \Delta H \text{ [W]} \quad (2)$$

Raspoloživa snaga na vratilu turbine manja je od snage vode na ulazu u turbinu za iznos gubitaka koji nastaju uslijed strujanja vode kroz samu turbinu. Omjer snage  $P_T$  dobivene na vratilu turbine i snage vode  $P$  na ulazu u turbinu predstavlja stupanj učinkovitosti energetske transformacije [6]:

$$\eta = \frac{P_T}{P} \quad (3)$$

Stupanj učinkovitosti vodenih turbina, koje koriste potencijalnu energiju vode, kreće se u rasponima od 0,75 do 0,95 [6].

Raspoloživa snaga na vratilu turbine iznosi:

$$P_T = Q \cdot \rho \cdot g \cdot \Delta H \cdot \eta \text{ [W]} \quad (4)$$

Općenito, kod određivanja snage kinetičkih turbina, odnosno i vodeničkih kola koristiti će se sljedeći izraz [6]:

$$P = \frac{1}{2} \rho A C_p v_1^3 \quad [W] \quad (5)$$

---

Kod kinetičkih turbina, stupanj učinkovitosti je manji u odnosu na turbine koje koriste potencijalnu energiju vode [6].

Količina proizvedene električne energije  $E$  [kWh] dobije se preko:

$$E = P \cdot t \quad (6)$$

gdje je  $t$  vrijeme rada hidroelektrane [1].

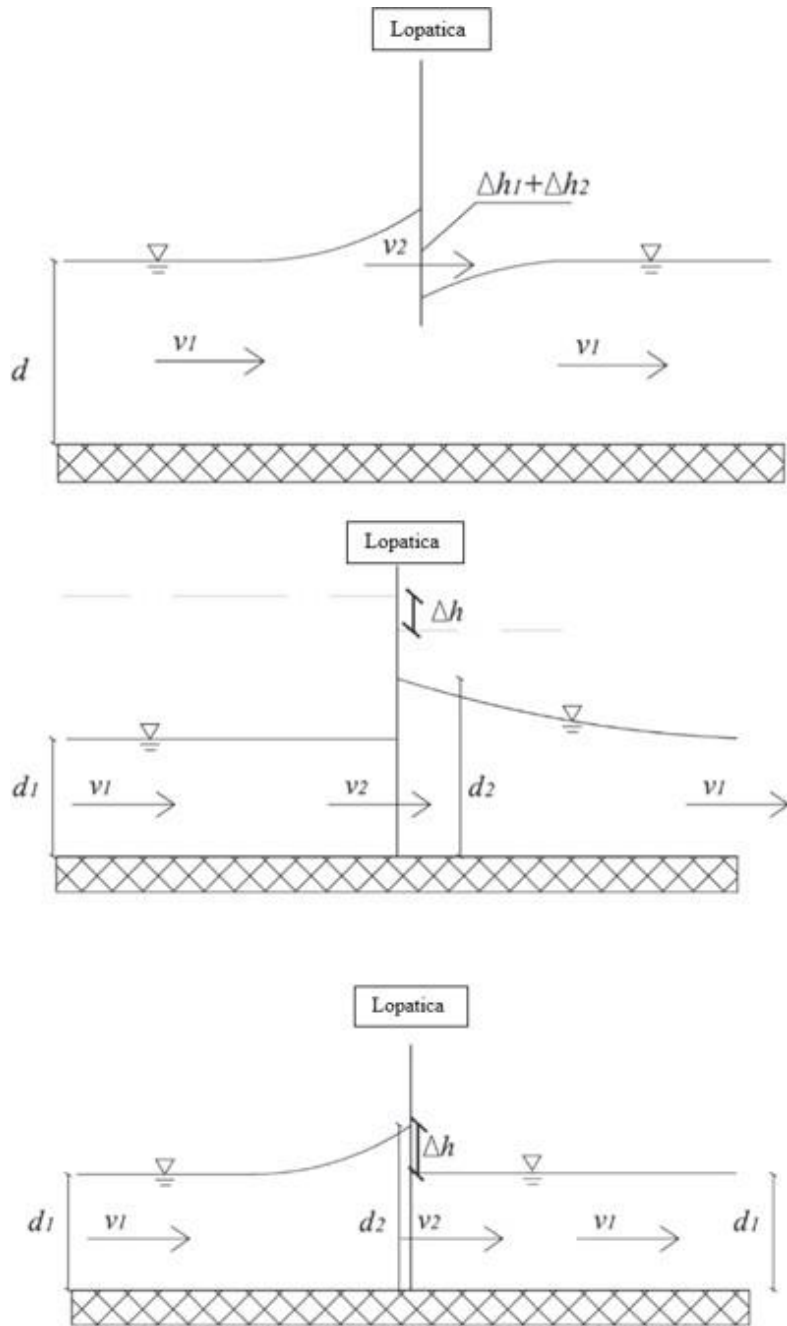
Funkcija turbine je transformacija kinetičke energije vode u mehaničku energiju rotirajućih dijelova turbine. Postoji mnogo različitih tipova turbinu kako bi se pokrio široki raspon uvjeta koji proizlaze iz konfiguracije terena odnosno različitih kombinacija protoka i pada. U velikom broju slučajeva turbine koje se koriste kod malih hidroelektrana su umanjene verzije turbine koje se koriste u konvencionalnim velikim hidroelektranama. Izbor tipa, oblika i dimenzija turbine prvenstveno ovisi o neto padu, instaliranom (projektiranom) protoku, brzini vrtnje, koja određuje tip i osnovni oblik rotora turbine i ostalih dijelova, najvećoj brzini koja se može postići bez priključenog električnog opterećenja, troškovima izgradnje male hidroelektrane [7].

S obzirom da turbine znaju imati značajan utjecaj na okoliš zato što zahtijevaju cijevi pod tlakom, difuzor i rešetke kako bi se izbjegao prolaz sedimenata i ribe kroz samu turbinu, a neke od njih nisu ni prikladne zbog male brzine protoka pri čemu može doći do kovitlanja toka, u posljednjim desetljećima na tržište uvedeni su novi hidroenergetski pretvarači za mjesta s malim geodetskim padom, poput Arhimedovih vijaka, gravitacijskih vodnih kola i potočnih vodnih kola te hidrokinetičkih turbina. Ovi su mehanizmi ekološki prihvatljiviji i isplativiji od tipičnih impulsnih i reakcijskih turbina jer je brzina njihove rotacije sporija i ne zahtijevaju cijevi pod tlakom, tako da su rizici vezani uz kretanje riba i problemi sa zaustavljenim i nakupljenim sedimentima svedeni na minimum [1].

Uz osnovne prikazane jednadžbe (4) i (5), analizirati će se i ostale jednadžbe za proračun snage vodnog kola, kako bi procijenili izlaznu snagu kod mlinskih kola u plitkoj vodi. U pravilu, sve navedene jednadžbe mogu se koristiti kod svih dubina vode. Kod jednadžbi za proračun izlazne snage turbinu u obliku vodnih kola, općenito se podrazumijevaju slijedeće hipoteze, iako nisu uvijek specificirane:

- kretanje vode je jednodimenzionalno, promatrano je i uzeto u obzir stacionarno stanje,
- samo jedna lopatica djeluje s kretanjem vode,
- lopatica je okomita na vektor brzine vode.

Slika 2 prikazuje segment lopatice vodnog kola kod kretanja vode za plitki tok: a) mirni režim tečenja, b) siloviti režim tečenja te za c) duboki tok. Plitki tok podrazumijeva dubinu približno jednaku visini lopatice vodnog kola. Minimalna energija nizvodnog toka, odnosno maksimalna proizvodnja energije će se postići kada dubina dosegne kritičnu dubinu.



Slika 2. Grafički prikaz ponašanja mlinskog kola za tri različita oblika tečenja [1].

Za pravokutni poprečni presjek, režim tečenja definira se putem kritične dubine jednadžba (7), odnosno Froudeovog broja  $F_R$  jednadžba (8) [1], [14],

$$d_{kr} = \sqrt[3]{\frac{Q^2}{g \cdot B}} \quad (7)$$

$$F_R = \frac{v}{\sqrt{g \cdot h}} \quad (8)$$

Za sve dubine  $d$  manje od  $d_{kr}$ , tok je silovit. Ukoliko je  $d$  veći od  $d_{kr}$ , tok je miran. Dubina  $d$  jednaka kritičnoj dubini  $d_{kr}$  podrazumijeva kritični tok. Kod Froudeovog broja,  $FR = 1$  podrazumijeva kritični tok,  $FR$  manji od 1 mirni, dok  $FR$  veći od 1 podrazumijeva siloviti tok.

## 2.1. Vodno kolo u mirnom toku kretanja vode

Najjednostavniji pokušaj procjene izlazne snage vode  $P$  opisan je u jednadžbi [9].. Teorija momenta je primijenjena na brzinu okretanja lopatice  $v_2$  kod neograničenog protoka, pri čemu se zanemaruje hidrostatička sila, koju tvori razlika u visini vode na lopatici:

$$P = \rho A (v_1 - v_2)^2 v_2 \quad (9)$$

gdje je  $A$  uronjeno područje lopatice,  $v_1$  ulazna brzina vode i  $v_2$  brzina okretanja lopatica vodnog kola (obodna brzina), dok je  $\rho$  gustoća vode. Teoretski model prikazuje najveću snagu kada je omjer  $v_2/v_1$  jednak 0.33.

Brzina okretanja lopatica vodnog kola, tj. obodna brzina  $v_2$  dobije se pomoću poznatog izraza:

$$v_2 = \frac{2r\pi}{T} = 2r\pi f \quad (10)$$

Gdje je  $T$  period rotacije (okretaja) najčešće izražen u minutama ili sekundama, a  $f$  frekvencija, odnosno broj okretaja u jedinici vremena (minute ili sekunde).

Sređivanjem odnosno pojednostavljenjem jednadžbe (9), dobiva se općenita jednadžba za proračun snage turbine koja koristi kinetičku energiju:

$$P_{kin} = \frac{1}{2} \rho \bar{A} C_p v_1^3 \quad (11)$$

Uvrštavanjem koeficijenta  $C_p$  u jednadžbu (9), koji u stvari izražava učinkovitost turbine, dobije se izraz koji predstavlja izlaznu snagu turbine u obliku vodenice:

$$P = \frac{1}{2} \rho \bar{A} C_p v_1^3 \quad (12)$$

Vrijednost  $C_p$  je funkcija ulazne brzine  $v_1$ , odnosno brzine okretanja lopatice  $v_2$ , pri čemu omjer  $v_2/v_1$ , odnosno vrijednost  $C_p$  ima veličinu  $16/27=0.59$  (Betzov limit), dok je  $C_p = 0.296$  maksimalna vrijednost prema teoriji momenata. Kako razlika u visini između ulazne i izlazne razine vode nije uzeta u obzir, jednadžba (12) vrijedi za mlinška kola manjih dimenzija, a ne za mlinška kola ugrađena na kanalima s dubokom vodom. Drugim riječima, kada je  $v_2$  približno ili jednak  $v_1$ , onda vrijedi  $C_p=0$ , tj. gubici se zanemaruju.

Voda teče prema mlinškom kolu, stoga se gornja razina vode može povećavati kao posljedica uspora zbog dolaska do lopatice. Sukladno tome povećava se i razlika u visini vode, iako bi u idealnim okolnostima (bez gubitaka) ta razlika bila jednaka nuli. Ukoliko se prethodna promatranja uzmu u obzir, tada je učinkovitost vodnog (mlinškog) kola  $\eta$  jednak:

$$\eta = \frac{1}{2} \left( 1 + \frac{d_1}{d_2} \right) \quad (13)$$

gdje je:

- $d_1$  dubina vode u neporemećenoj konfiguraciji (donja, ulazna, ali i izlazna razina),
- $d_2$  je dubina vode kod lopatice ( $d_1 \leq d_2$ ).

Učinkovitost procijenjena putem jednadžbe (13) je veća nego ona dobivena eksperimentalnim rezultatima u odnosu na učinkovitost iz jednadžbe (12). Pri tome vrijedi da je  $0.6 \leq d_1/d_2 \leq 0.9$ . Uzimanjem u obzir gubitaka uslijed turbulencije tečenja vode, izlazna snaga turbine može se procijeniti kao:

$$P = \eta P_{in} - \gamma Q_l \Delta H - K v_m^3 \quad (14)$$

gdje je:

$P_{in}$  – ulazna snaga,  $P_{in} = \rho g Q (d_1 - d_2)$

$\eta$  – učinkovitost procijenjena jednadžbom (13)

$Q_l$  – protok, može se procijeniti kao  $Q_l = Q(1 - dh/\Delta H)$ , pri čemu je  $dh$  razlika kinetičkog tlaka, dok je  $\Delta H = d_2 - d_1$ .

$K$  – faktor gubitaka uslijed turbulencije,  $K = 1/2 f \rho b l$ , pri čemu je  $b$  širina lopatice,  $l$  duljina oštice, dok je  $f$  korekcijski faktor (usvaja se 2.5).

$v_m$  – prosječna tangencijalna brzina lopatice.

U ovom diplomskom radu za potrebe izračuna snage turbine koja koristi kinetičku energiju vode, odnosno vodnog kola koristiti će se jednadžbe (7-9). Za učinkovitost kinetičke turbine, odnosno vrijednost koeficijenta snage usvaja se  $C_p = 0,30$ , tj. 30 %.

## 2.2. Vodno kolu u silovitom toku kretanja vode

Izlazna snaga turbine u obliku vodnog kola za ovaj režim kretanja vode dobije se preko sljedeća tri izraza [14].

$$P = \rho_w \cdot g \cdot Q \cdot \Delta h \quad (15)$$

$$\Delta h = d_1 + \frac{v_1^2}{2g} - (d_2 + \frac{v_2^2}{2g}); \Delta h \geq 0 \quad (16)$$

$$d_2 = \frac{v_1}{v_2} \cdot d_1 \quad (17)$$

## 2.3. Vodno kolo u dubokom toku vode

Duboki tok vode podrazumijeva dubinu veću od visine lopatica vodnog kola [1].

Kako bi se postigla točnija procjena, izlazna snaga može se izračunati uzimajući u obzir prikazani idealni proces za duboki tok na slici 2, koji ovisi o sili kojom na uronjenu lopaticu djeluje izmjena momenta sa malom razlikom visine. Na ovaj način se izlazna snaga može procijeniti pomoću izraza [14].:

$$P = \rho g \frac{b}{2} [(d_1 + \Delta h_1)^2 - (d_1 - \Delta h_2)^2] \cdot v_2 + \rho b (d_1 + \Delta h_1)^2 \cdot (v_1 - v_2)^2 \cdot v_2 \quad (18)$$

### **3. HIDROLOŠKA ANALIZA PROMATRANE LOKACIJE**

Hidrološka analiza izvršiti će se s obzirom na postojeće podatke mjernih postaja na rijeci Donjoj Dobri te na osnovu provedenih hidrometrijskih mjerjenja u blizini razmatrane lokacije Matinog mlina. Također, na izlaznom kanalu iz vodnog kola provedena su hidrometrijska mjerjenja. Nakon izlaza iz HE Gojak u Karlovačkoj županiji od voda Gornje Dobre i Zagorske Mrežnice, formirana je Donja Dobra. Protiče surovim krajem, nepristupačnih obala, visokih strmih litica i jedinstvene ljepote. Nizvodno od mosta u mjestu Trošmarija, nastavlja se teško pristupačni klanac dug oko 13 kilometara, s 15 manjih ili većih slapova i brzaka. Rijeka je široka od 15 do 25 metara, kod srednjeg vodostaja do 4 metra dubine. Dno je izrazito neravno i nepravilno, s naglim izdignućima, kanalima i rupama. Razlog tome je tektonski rasjed koji se prostire cijelim koritom [9].

Sliv rijeke Dobre smješten je između  $45^{\circ}15'$  i  $45^{\circ}34'$  N te  $14^{\circ}56'$  i  $15^{\circ}32'$  E. Tok rijeke Dobre moguće je podijeliti na tri djela. Tok Gornje ili Ogulinske Dobre dug je 51,2 km. Rijeka ponire u Đulinom ponoru koji se nalazi u samom gradu Ogulinu. Drugi dio, tj. podzemni tok rijeke Dobre, protječe kroz do danas otkriveni sustav krških kanala i kaverni dug 16.396 m čija visinska razlika između najviše i najniže točke iznosi 83 m. Na površinu voda izbija kod sela Gojak, kroz niz stalnih i povremenih krških izvora. Treći dio ovog vodotoka pod nazivom Donja Dobra s ušćem u rijeku Kupu dug je 52,1 km. Duž površinskih tokova kako Gornje tako i Donje Dobre postoje brojne tzv. suspendirane dionice duž kojih se u određenim hidrološko-hidrogeološkim situacijama gubi voda u krško podzemlje. U gornjem dijelu Gornje Dobre vodotok ima karakteristike brdskog bujičnog vodotoka, dok u najnizvodnijem dijelu Donje Dobre, prije ušća u rijeku Kupu, ima karakteristike nizinskog vodotoka. Hidroelektrana Gojak kao i akumulacija Sabljaki izgrađena je 1959.godine dok je hidroelektrana Lešće s radom počela 2010.godine a nalazi se oko dvanaest kilometara nizvodno od HE Gojak na Donjoj Dobri [11].

Na slici 3 prikazane su dvije mjerne hidrološke postaje Lešće Toplice i Stative Donje na lokaciji Donja Dobra.



Slika 3. Lokacije Matinog mlina i mjernih postaja na vodotoku Donja Dobra [12].

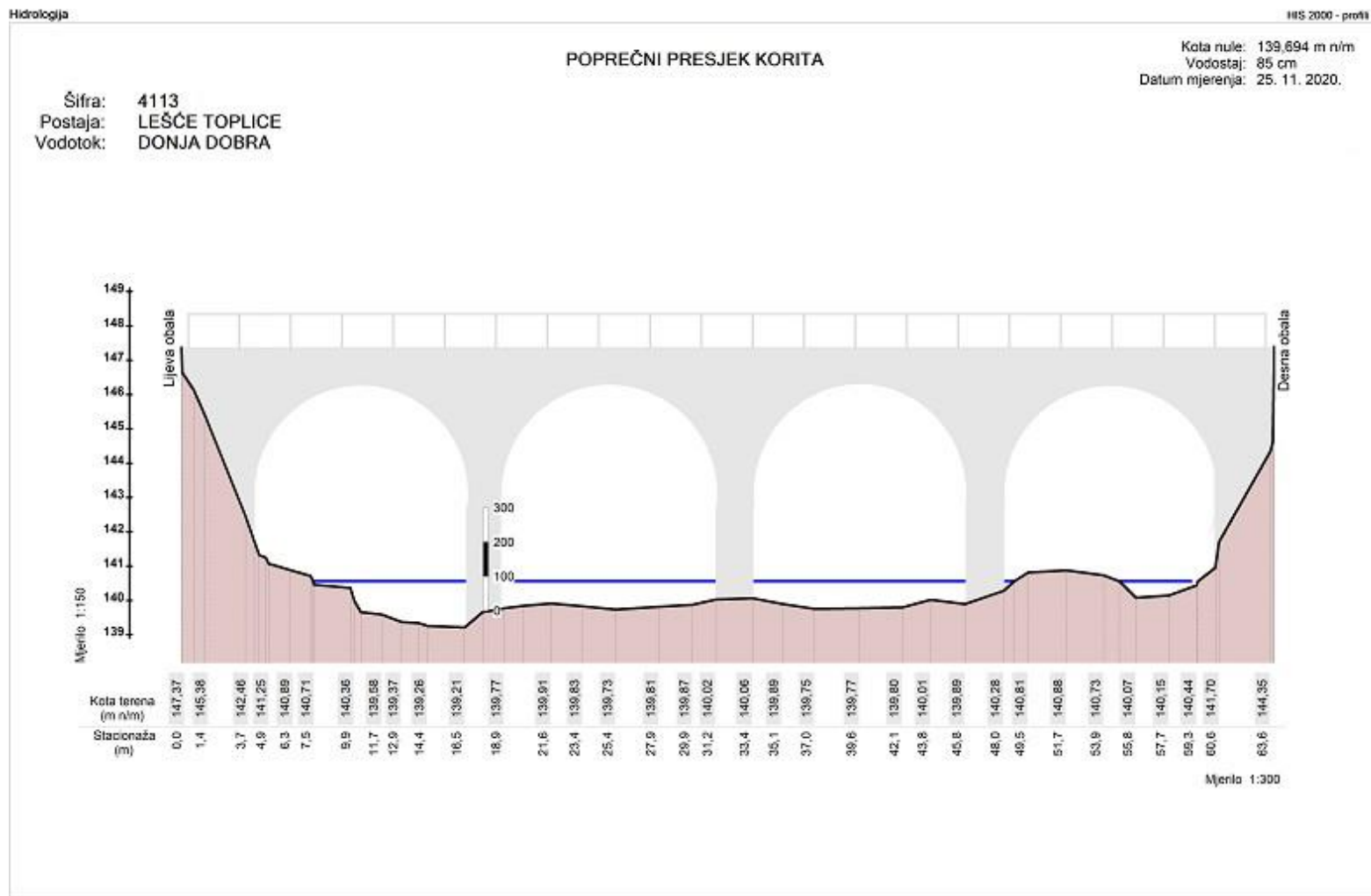
### 3.1. Mjerna postaja Lešće Toplice

Mjerna postaja Lešće Toplice je automatska mjerna postaja puštena u rad 1946. godine. Pripada vodotoku Donja Dobra topografske površine sliva  $608,000 \text{ km}^2$  [12]. Na slici 4 prikazan je poprečni presjek korita rijeke Donje Dobre, mjerna postaja Lešće Toplice. Posljednje mjerjenje poprečnog profila izvršeno je 25.11.2020 godine pri kojem visina vodostaja iznosi 85 cm.

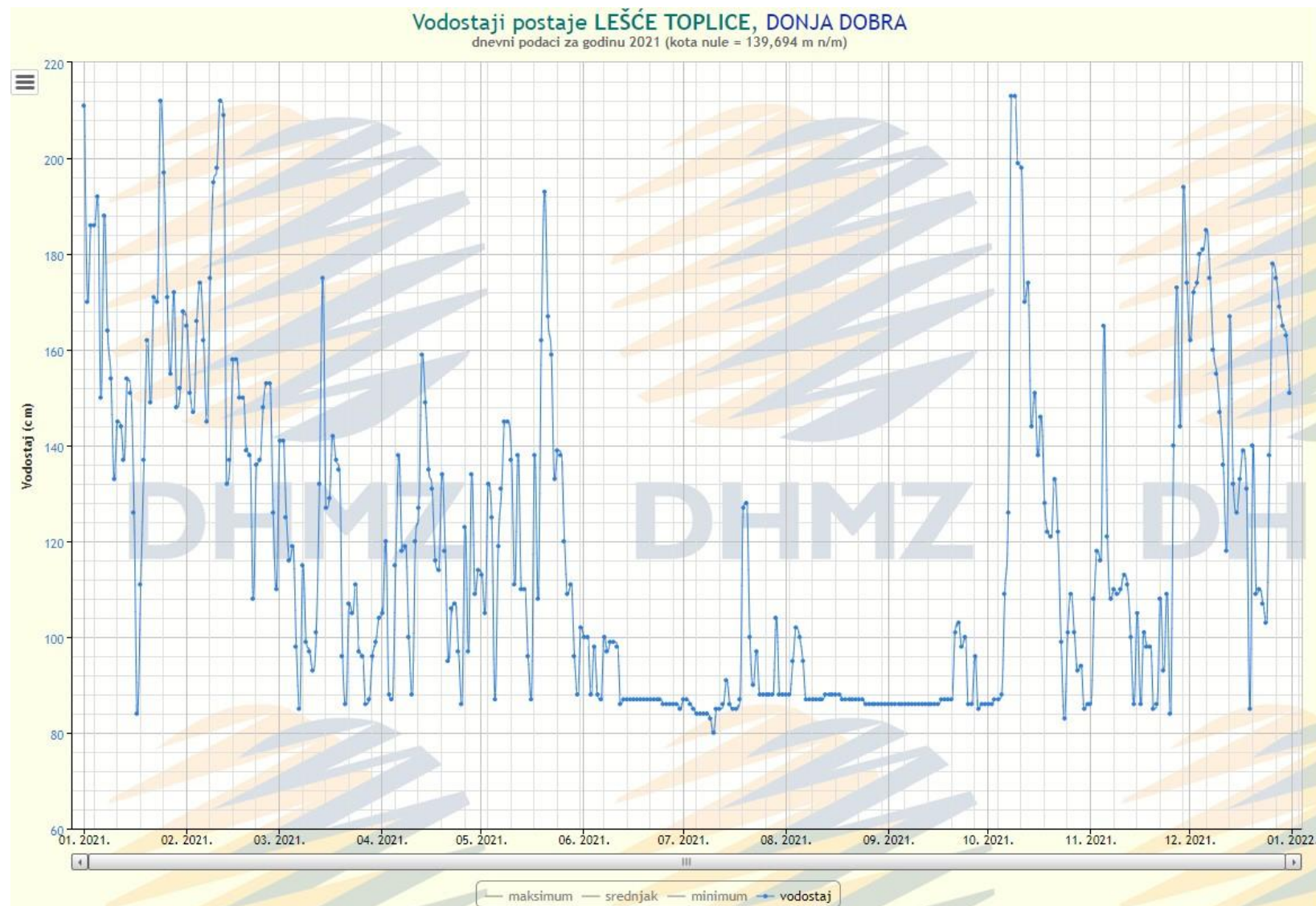
U tablici 1 prikazani su ekstremi izmjereni tijekom rada postaje, dok su na slici 5 prikazani vodostaji postaje Lešće toplice za 2021. godinu. Protoci izmjereni tijekom 2021. godine vidljivi su na slici 6.

Tablica 1. Prikaz rezultata mjerena na mjernoj postaji Lešće Toplice [12].

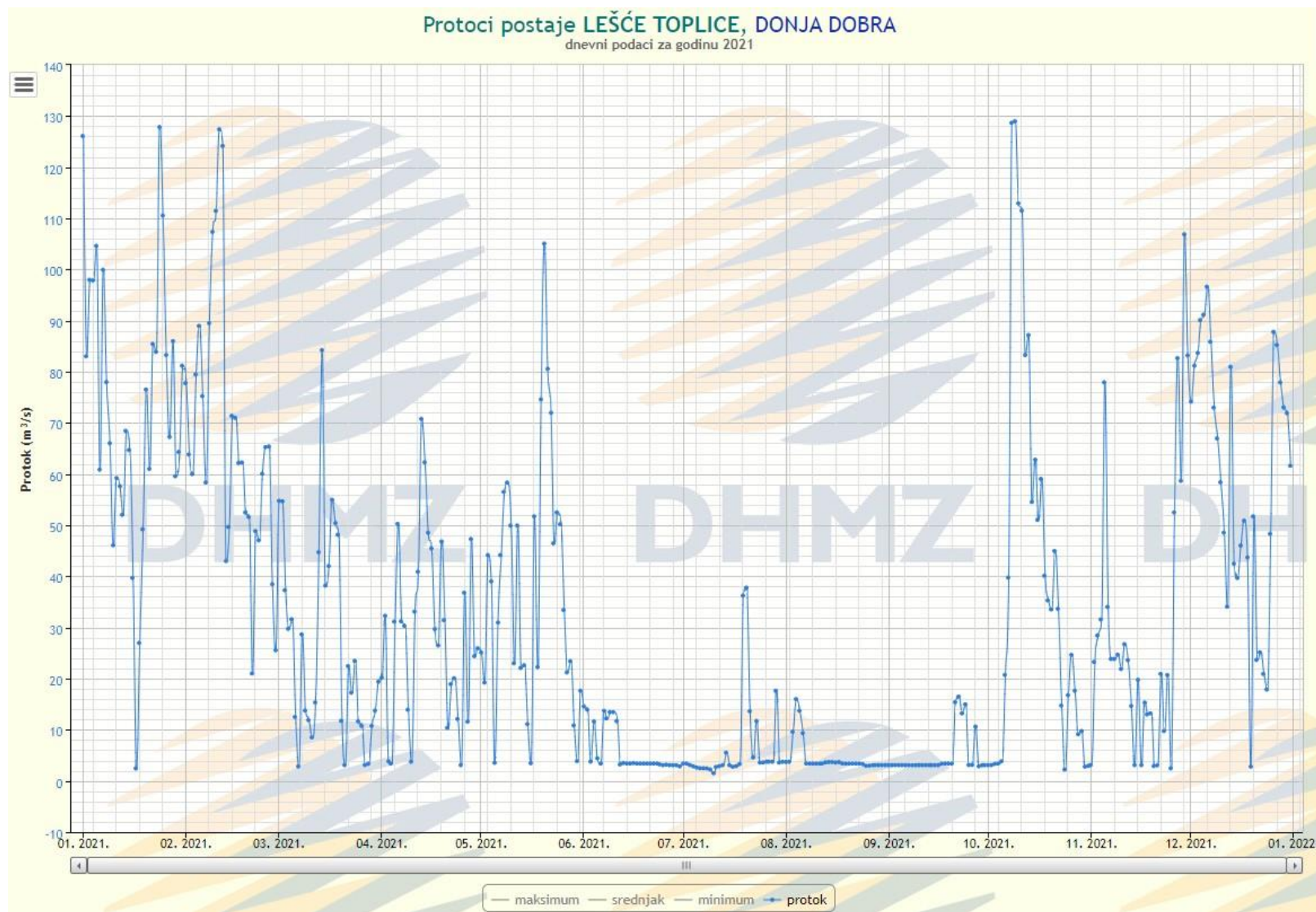
	Razdoblje:	Ekstremi:
Vodostaj	1962. – 2021.	Minimum: 17 cm, datum: 29.06.2009. Maksimum: 276 cm, datum: 12.11.2013.
Protok	1946. – 2021.	Minimum: 0,001 $\text{m}^3/\text{s}$ , datum: 16.08.1946. Maksimum: 205,9 $\text{m}^3/\text{s}$ , datum: 17.05.1991.
Temperatura	1988. – 1988.	Minimum: 2 °C, datum: 24.11.1988. Maksimum: 21 °C, datum: 25.07.1988.



Slika 4. Poprečni presjek rijeke Donje Dobre, mjerna postaja Lešće Toplice [12]

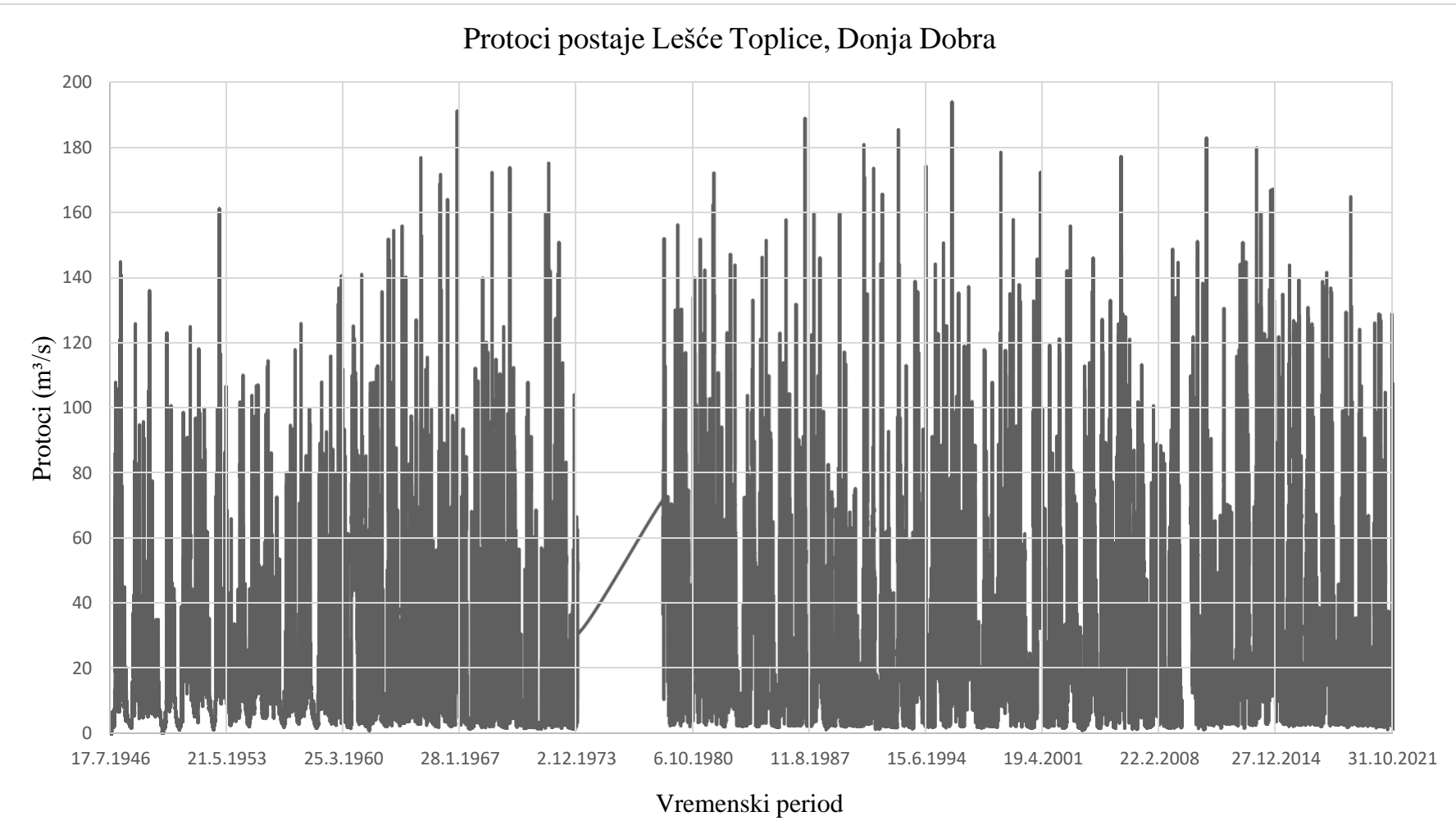


Slika 5. Vodostaji rijeke Donje Dobre izmjereni na mjernoj postaji Lešće Toplice [12]

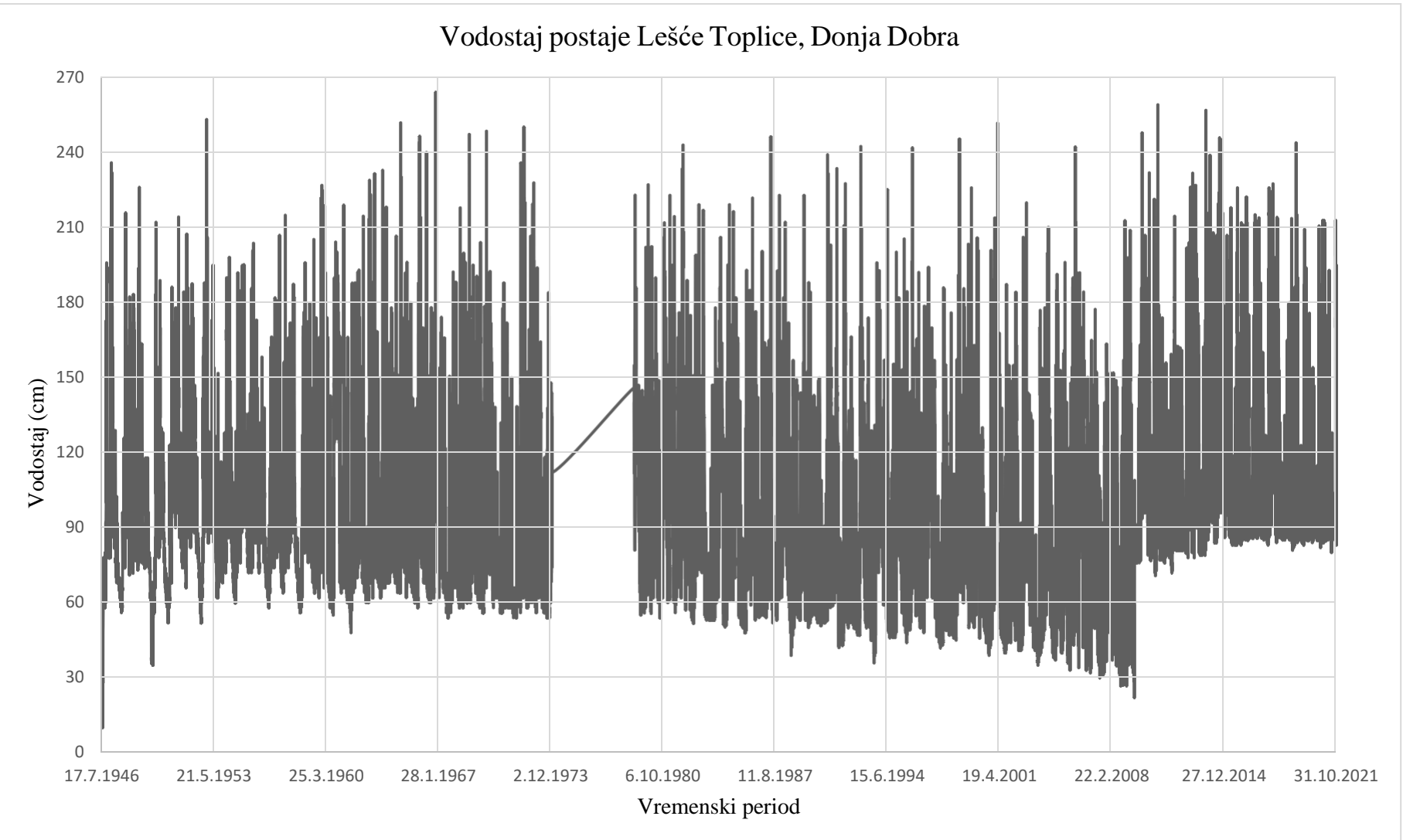


Slika 6. Srednji dnevni protoci rijeke Donje Dobre izmjereni na mjernoj postaja Lešće Toplice [12]

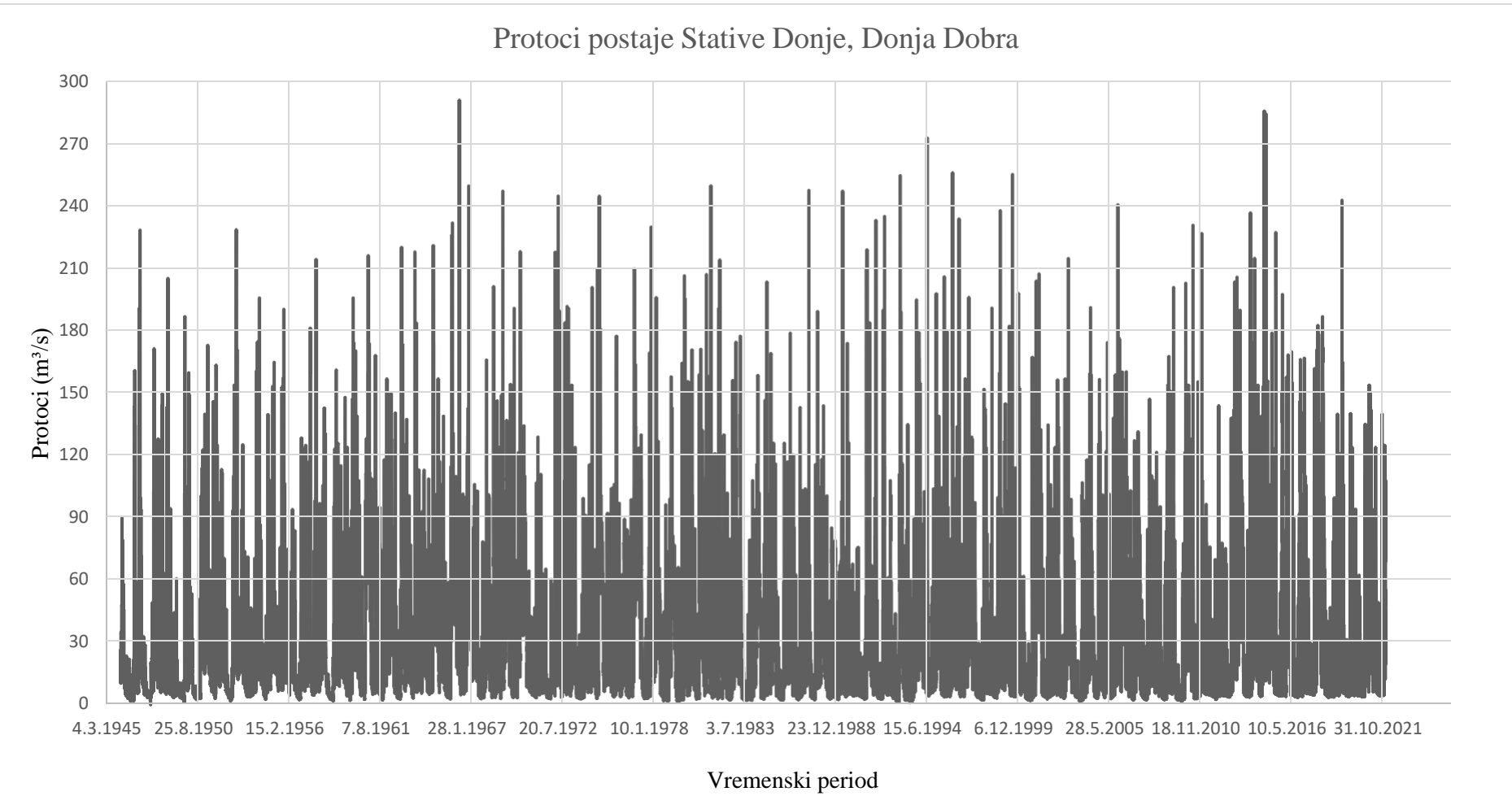
Zbog boljeg uvida u hidrološke karakteristike rijeke Donje Dobre na mjernoj postaji Lešće Toplice na slikama 7 i 8 prikazan je niz srednjih dnevnih protoka i vodostaja za vremenski period od 1946. godine do 2021. godine.



Slika 7. Srednji dnevni protoci u razdoblju od 1946. godine do 2021.godine za mjernu postaju Lešće Toplice, Donja Dobra [12]

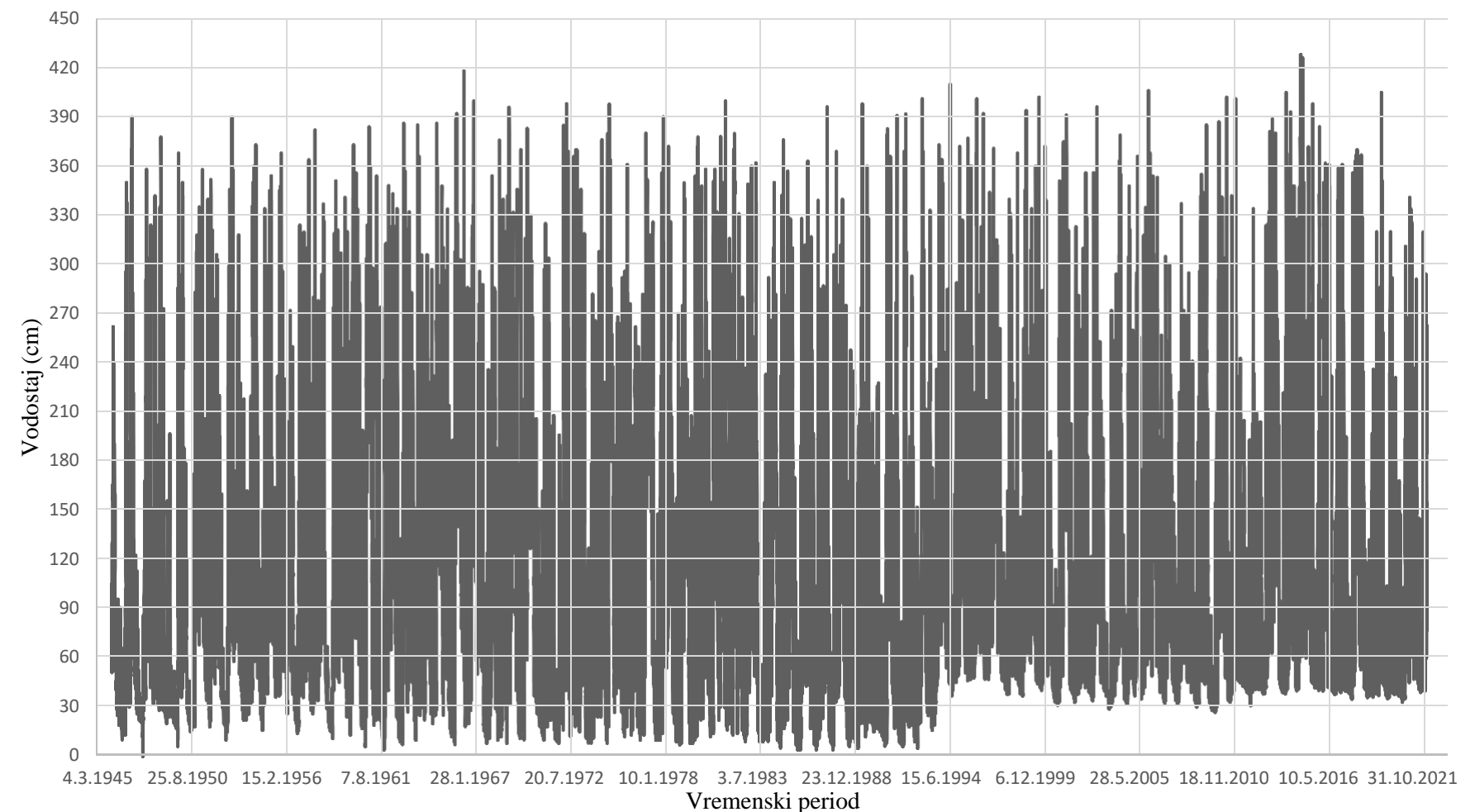


Slika 8. Srednji dnevni vodostaji u razdoblju od 1946. godine do 2021.godine za mjernu postaju Lešće Toplice, Donja Dobra [12]



Slika 9. Srednji dnevni protoci u razdoblju od 1946. godine do 2021.godine za mjernu postaju Stative Donje, Donja Dobra [12]

### Vodostaj postaje Stative Donje, Donja Dobra

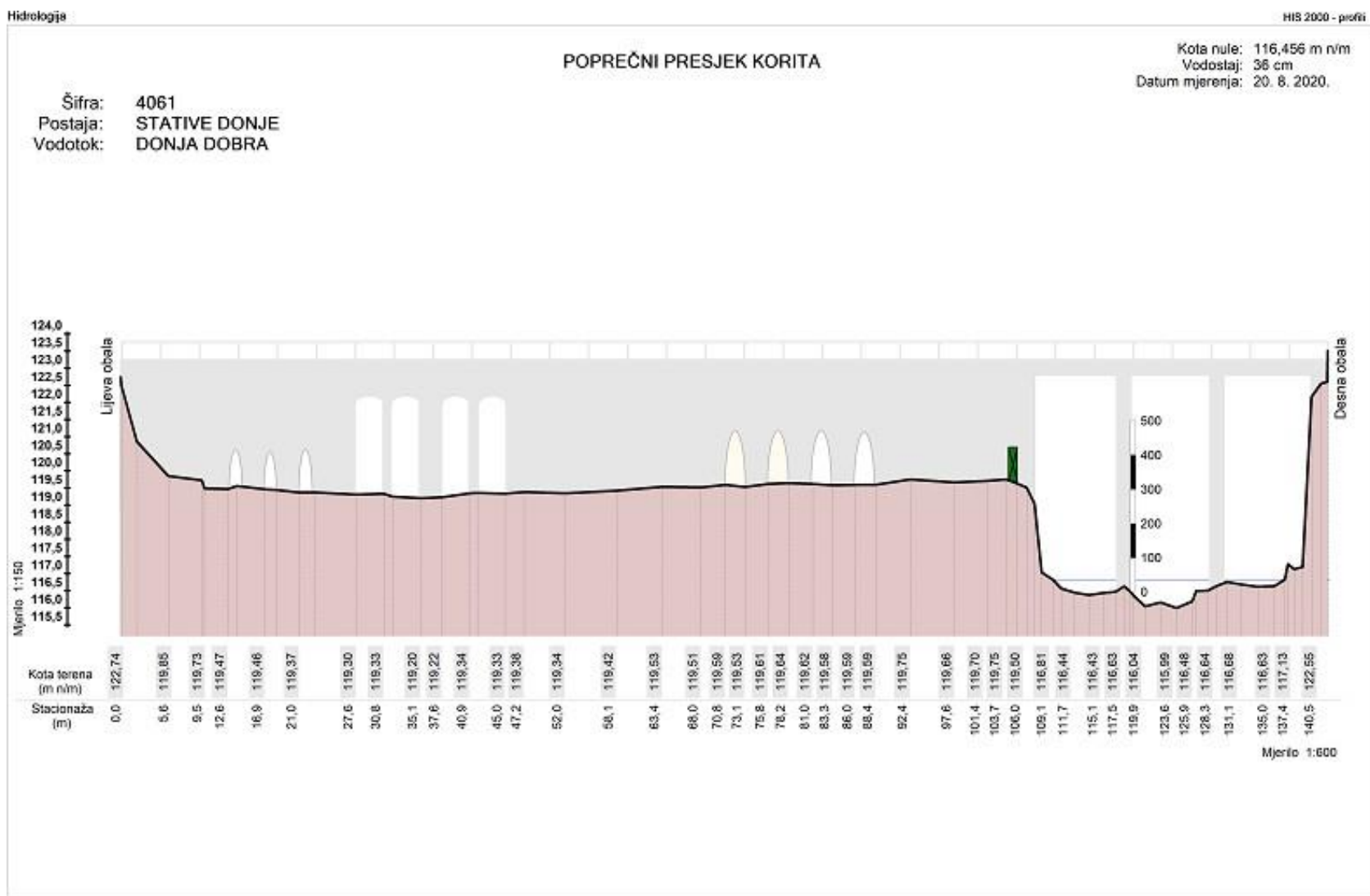


Slika 10. Srednji dnevni vodostaji u razdoblju od 1946. godine do 2021.godine za mjernu postaju Stative Donje, Donja Dobra [12]

Zbog boljeg uvida u hidrološke karakteristike rijeke Donje Dobre na mjernoj postaji Stative Donje, na slikama 9 i 10 prikazan je niz srednjih dnevnih protoka i vodostaja za vremenski period od 1946. godine do 2021. godine.

### 3.2. Mjerna postaja Stative Donje

Stative Donje je automatska mjerna postaja, puštena je u rad 1939. godine, pripada vodotoku Donja Dobra ukupne topografske površine sliva 1008,000 km<sup>2</sup> [12]. Na slici 11 prikazan je poprečni presjek korita rijeke Donje Dobre, mjerna postaja Stative Donje. Posljednje mjerjenje poprečnog profila izvršeno je 20.08.2020. godine, pri kojem visina vodostaja iznosi 38 cm.

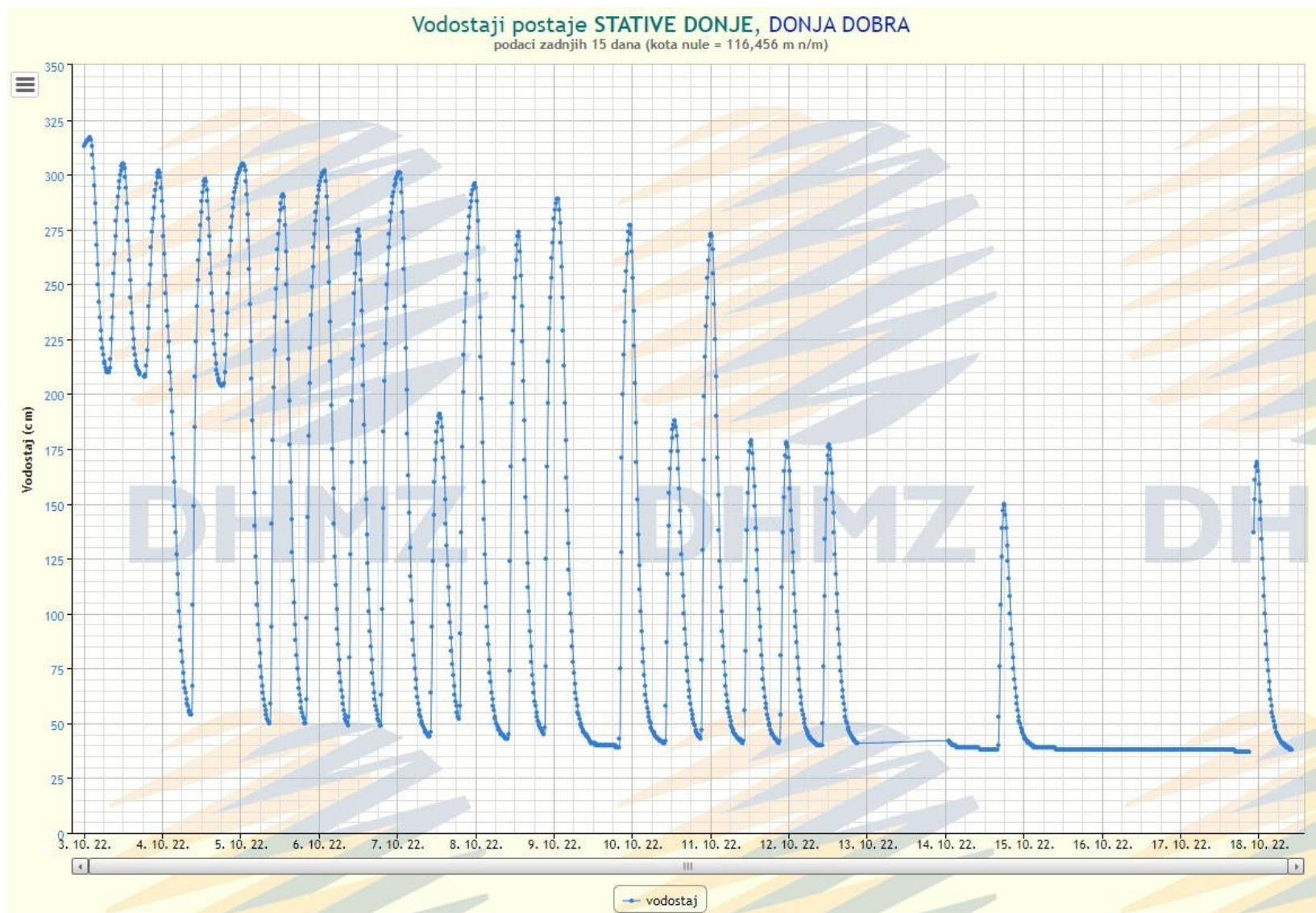


Slika 11. Poprečni presjek rijeke Donje Dobre, mjerna postaja Stative Donje [12]

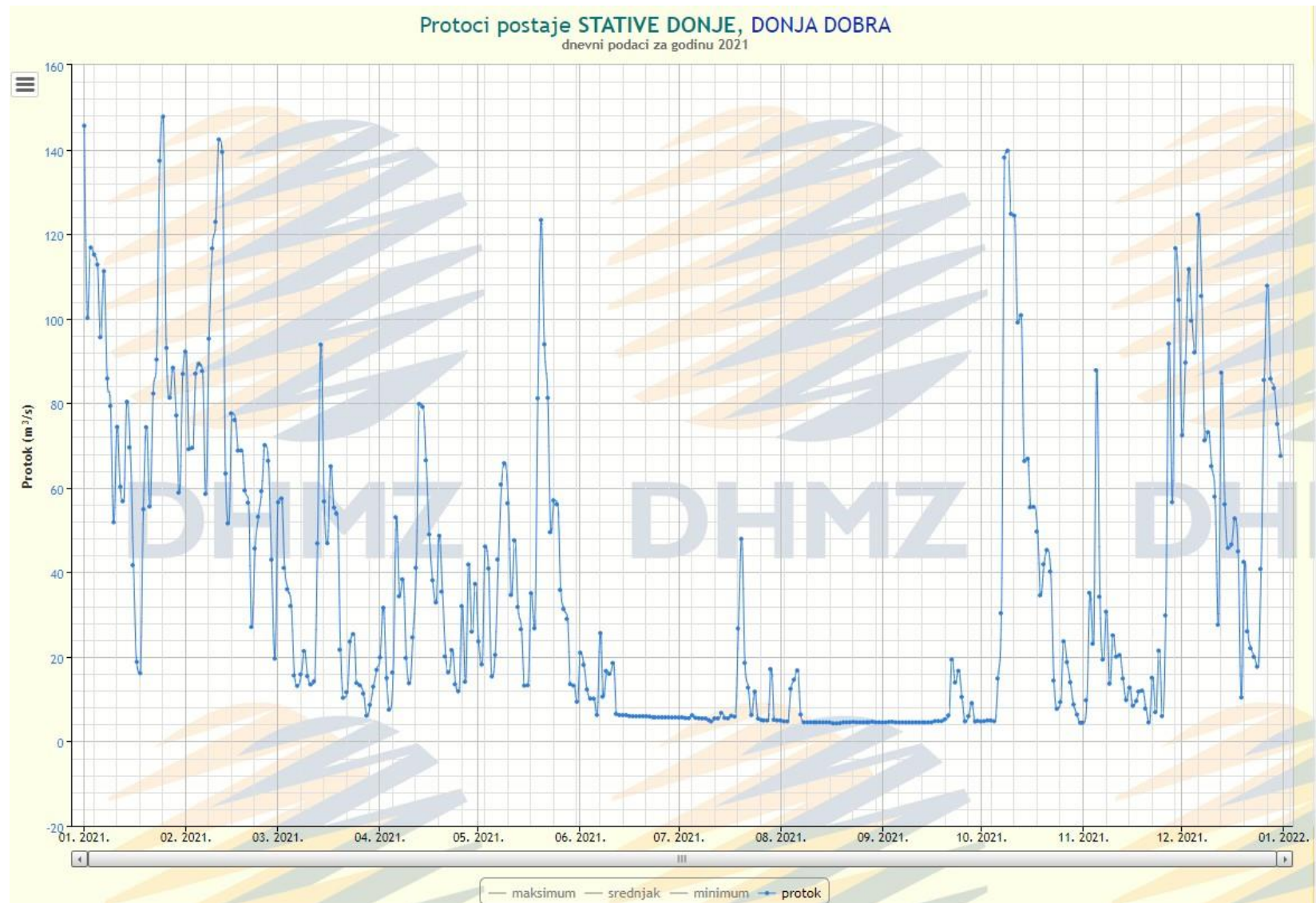
Tijekom godina rada zabilježeni su ekstremi kod vodostaja, protoka i temperature što je vidljivo u tablici 2. Na slici 12 prikazani su vodostaji postaje Stative Donje za 2021. godinu, dok su protoci izmjereni tijekom 2021. godine vidljivi na slici 13.

Tablica 2. Prikaz rezultata mjerenja postaje Stative Donje [12]

	Razdoblje:	Ekstremi:
Vodostaj	1946. – 2021.	Minimum: 0 cm, datum: 25.10.1947. Maksimum: 460 cm, datum: 29.07.1999.
Protok	1946. – 2021.	Minimum: 0,362 m <sup>3</sup> /s, datum: 25.10.1947. Maksimum: 405,5 m <sup>3</sup> /s, datum: 29.07.1999.
Temperatura	1957. – 2021.	Minimum: 0,0 °C, datum: 04.12.1973. Maksimum: 27,4 °C, datum: 27.06.1983.



Slika 12. Vodostaji rijeke Donje Dobre izmjereni na mjernoj postaji Stative Donje [12]



Slika 13. Protoci rijeke Donje Dobre na mjernoj postaji Stative Donje [12]

### 3.3. Provođenje hidrometrijskih mjerena na rijeci Donjoj Dobri u blizini Matinog mlina

#### 3.3.1. Postupak mjerena pomoću uređaja Flow Tracker2

Mjerena protoka rijeke Donje Dobre izvršena su na dvije lokacije prikazane na slici 14. Prva lokacija se nalazi neposredno ispod restorana „Papalina“ i na toj lokaciji su izvršena tri mjerena dana 29.04.2022., 30.06.2022. i 19.07.2022., dok se druga lokacija nalazi na profilu rijeke Dobre nizvodno od Matinog mlina.



Slika 14. Satelitski prikaz lokacija mjerena [4]

Sva navedena mjerena izvršena su pomoću ultrazvučnog mjerača protoka Flow Tracker2 mjereni su brzina i protok vode na lokacijama 1 i 2.

Na rijeci Donjoj Dobri u Jaškovu dana 30.04.2022. izvršena su mjerena brzine i protoka vode. Mjerena su izvršena na profilu neposredno ispod restorana „Papalina“ koji se nalazi na istoj lokaciji. Mjerena brzine i protoka vode izvode se pomoću ultrazvučnog uređaja Flow Tracker2 pri čemu je kao pomoć mjerenu korištena mjerna traka. Mjerna traka služi za određivanje pravilnog razmaka po dužini profila kanala, u ovome slučaju raster iznosi 2.0 metra (Slika 15.), budući da se prema ISO standardu uzima 1/20 širine rijeke.



Slika 15. Postavljanje mjerne trake na profilu rijeke Dobre [8]

Na samom početku mjerjenja potrebno je definirati prikladno mjesto za mjerjenje, a to je ono mjesto gdje je najmanje bujna vegetacija. Nakon odabira profila i postavljanja mjerne trake slijedi priprema uređaja i kontrolna provjera podataka kako bi mjerjenje bilo što preciznije i kvalitetnije. Postupak mjerjenja kreće tako da se uređaj postavi na početnu točku, pri čemu se zadaje lokacija i operater koji izvršava mjerjenje.

Na slici 16 prikazan je postupak mjerjenja sa Flow Tracker2 ultrazvučnim uređajem. Uređaj je fiksiran na način da je postavljen vertikalno i usmjeren je okomito na poprečni presjek. Sonda uređaja usmjerena je suprotno u odnosu na smjer tečenja. Mjerjenje traje 40 sekundi za svaku točku, mjestima gdje je rijeka Dobra dublja od 0,5 metra mjerjenje je izvršeno na dvije dubine na istoj mjernoj točki. Zatim uređaj za svaki dio presjeka izračunava srednju brzinu, površinu i protok. Nakon završetka mjerjenja na profilu, softver unutar uređaja izvršava analizu/proračun.



Slika 16. Postupak mjerena Flow Tracker2 ultrazvučnim uređajem [8]

Hidrološki uvjeti su zadovoljavajući, odnosno dotok vode na vodno kolo je uvijek osiguran. Ekstremni uvjeti kod poplava, koji mogu dovesti do plavljenja dovodnog kanala, odnosno vodnog kola mogu prouzročiti prekid rada, no to je kratkotrajno, nekoliko puta u godini u trajanju nekoliko dana. Sušni periodi ne utječu na protok rijeke Donje Dobre, odnosno na dotok vode na vodno kolo, budući da se pred ulaznom zapornicom nalazi mala akumulacija u koju se uvijek skuplja voda.

Dizanja razine vode, odnosno povećanja protoka zbog ispuštanja vode iz akumulacije HE Lešće ne utječu na ulazak vode u dovodni kanal, budući da spomenuta akumulacija, kao i slap/prag prelijevaju sav višak vode u vodotok rijeke Dobre. Slapište je izgrađeno još u vrijeme Austrougarske monarhije upravo radi osiguranja dovoljne količine vode na mlin, kao i za zaštitu od prelijevanja. U pravilu, sav višak vode iz akumulacije HE Lešće ispušta se tijekom noći radi opasnosti za kupače koji se tijekom dana nalaze u blizini analizirane lokacije Matinog mlina.

### 3.3.2. Rezultati mjerjenja – Flow Tracker 2 uredaj

Mjerenja pomoću uređaja FlowTracker2 izvršena su na lokacijama prikazanim na slici 14. Nakon što je mjerjenje završeno podaci iz uređaja prebacuju se na računalo i obrađuju. Rezultat obrade podataka na računalu je izvještaj u .pdf ili .csv obliku. Izvještaj se sastoji od nekoliko stranica.

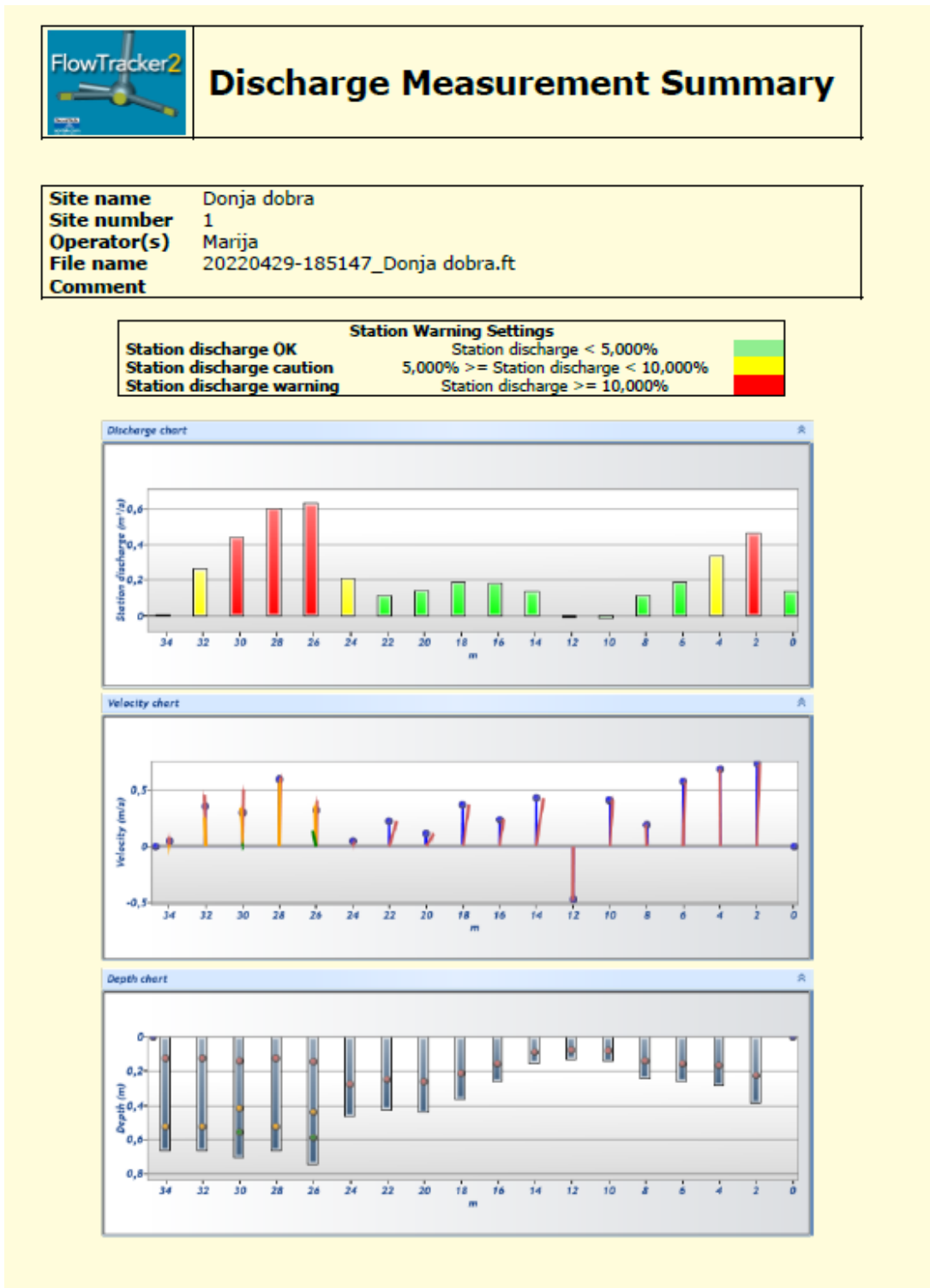
#### 3.3.2.1. Mjerenje br.1 - Lokacija 1

Prvo mjerjenje pomoću uređaja FlowTracker2 izvršeno je 29.04.2022. Prva stranica izvještaja sadrži općenite informacije o mjerenu i lokaciji (Slika 20.)

 <b>Discharge Measurement Summary</b>																									
<b>Site name</b> Donja dobra <b>Site number</b> 1 <b>Operator(s)</b> Marija <b>File name</b> 20220429-185147_Donja dobra.ft <b>Comment</b>																									
<b>Start time</b> 29.4.2022, 17:52 <b>End time</b> 29.4.2022, 18:49 <b>Start location latitude</b> 45,551 <b>Start location longitude</b> 15,472 <b>Calculations engine</b> FlowTracker2	<b>Sensor type</b> Top Setting <b>Handheld serial number</b> FT2H2025030 <b>Probe serial number</b> FT2P2024010 <b>Probe firmware</b> 1.30 <b>Handheld software</b> 1.7																								
<b># Stations</b> 19 <b>Avg interval (s)</b> 40 <b>Total discharge (m³/s)</b> 4,184																									
<b>Total width (m)</b> 34,700 <b>Total area (m²)</b> 13,451 <b>Wetted Perimeter (m)</b> 35,033																									
<b>Mean SNR (dB)</b> 16,026 <b>Mean depth (m)</b> 0,388 <b>Mean velocity (m/s)</b> 0,311																									
<b>Mean temp (°C)</b> 14,104 <b>Max depth (m)</b> 0,740 <b>Max velocity (m/s)</b> 0,729																									
<b>Discharge Uncertainty</b> <table> <tr> <th>Category</th><th>ISO</th><th>IVE</th></tr> <tr> <td>Accuracy</td><td>1,0 %</td><td></td></tr> <tr> <td>Depth</td><td>0,2 %</td><td></td></tr> <tr> <td>Velocity</td><td>0,6 %</td><td></td></tr> <tr> <td>Width</td><td>0,2 %</td><td></td></tr> <tr> <td>Method</td><td>1,7 %</td><td></td></tr> <tr> <td># Stations</td><td>2,6 %</td><td></td></tr> <tr> <td>Overall</td><td>3,4 %</td><td></td></tr> </table>	Category	ISO	IVE	Accuracy	1,0 %		Depth	0,2 %		Velocity	0,6 %		Width	0,2 %		Method	1,7 %		# Stations	2,6 %		Overall	3,4 %		<b>Discharge equation</b> Mean Section <b>Discharge uncertainty</b> IVE <b>Discharge reference</b> Rated
Category	ISO	IVE																							
Accuracy	1,0 %																								
Depth	0,2 %																								
Velocity	0,6 %																								
Width	0,2 %																								
Method	1,7 %																								
# Stations	2,6 %																								
Overall	3,4 %																								
	<b>Data Collection Settings</b> <table> <tr> <td>Salinity</td><td>0,000 PSS-78</td></tr> <tr> <td>Temperature</td><td>-</td></tr> <tr> <td>Sound speed</td><td>-</td></tr> <tr> <td>Mounting correction</td><td>0,000 %</td></tr> </table>	Salinity	0,000 PSS-78	Temperature	-	Sound speed	-	Mounting correction	0,000 %																
Salinity	0,000 PSS-78																								
Temperature	-																								
Sound speed	-																								
Mounting correction	0,000 %																								
<b>Summary overview</b> No changes were made to this file Quality control warnings																									

Slika 17. Prva stranica izvještaja za mjerjenje br.1 [8]

Druga stranica izvještaja sastoji se od grafičkog prikaza rezultata dobivenih mjerjenjem. Prvi dijagram prikazuje raspodjelu protoka u ovisnosti o širini odvodnog kanala, drugi dijagram prikazuje raspodjelu brzina, dok treći dijagram prikazuje raspodjelu dubina (Slika 21.).



Slika 18. Druga stranica izvještaja za mjerjenje br.1 [8]

Posljednja stranica izvještaja prikazuje kompletne rezultate mjerena u tabličnom obliku. Tablica sadrži: redni broj mjerena, vrijeme mjerena, stacionažu mjerena, dubinu mjerena, brzinu vode, površinu između profila i protok (Slika 22.).



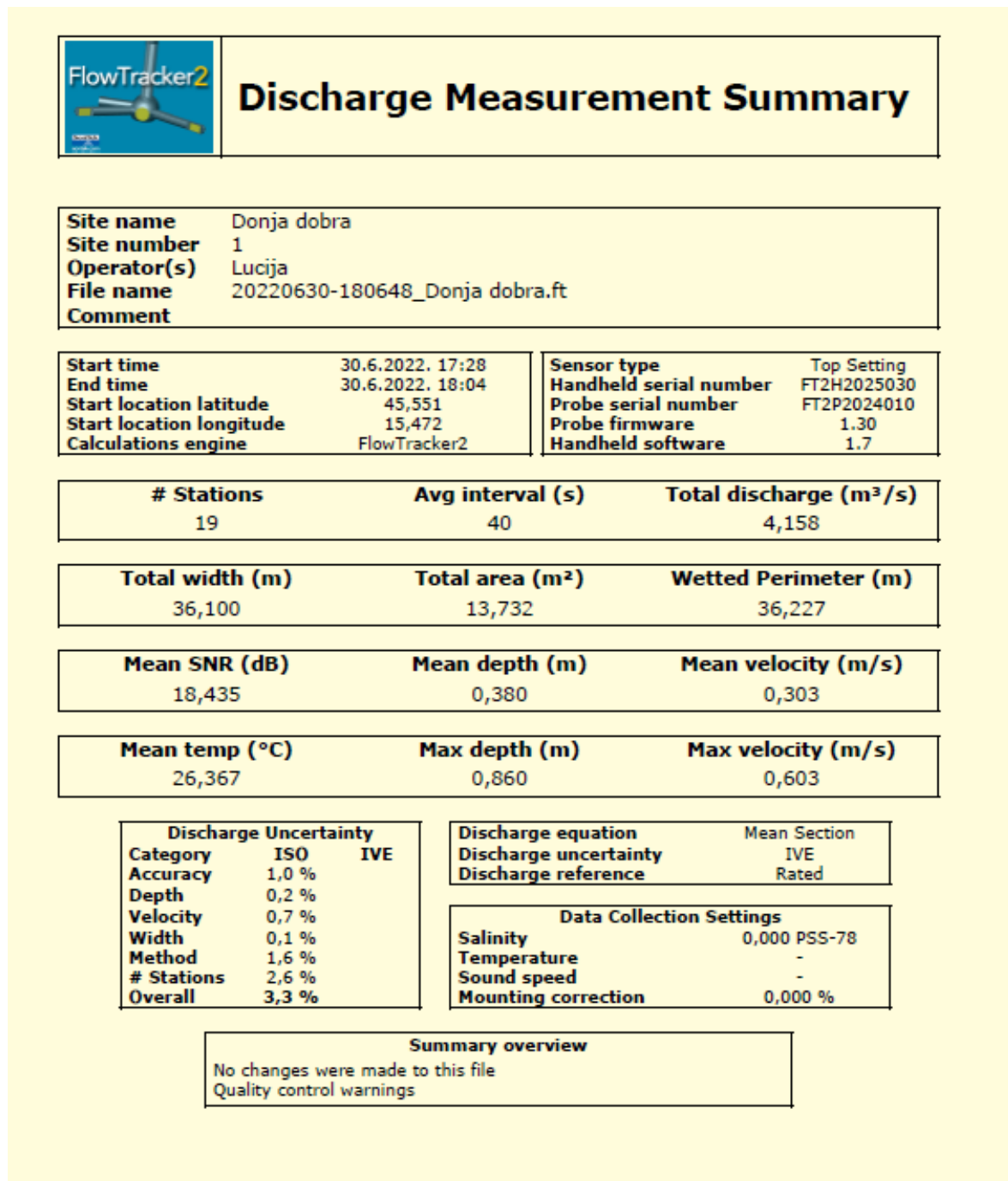
## Discharge Measurement Summary

<b>Site name</b>	Donja dobra												
<b>Site number</b>	1												
<b>Operator(s)</b>	Marija												
<b>File name</b>	20220429-185147_Donja dobra.ft												
<b>Comment</b>													
Measurement results													
St#	Time	Location (m)	Method	Depth (m)	%Depth	Measured Depth (m)	Samples	Velocity (m/s)	Corrector	Mean Velocity (m/s)	Area (m <sup>2</sup> )	Flow (m <sup>3</sup> /s)	%Q
0	17:52	0,000	None	0,000	0,000	0,000	0	0,000		0,365	0,380	0,139	3,311 ✓
1	17:53	2,000	0,6	0,380	0,600	0,228	80	0,729	1,000	0,708	0,660	0,468	11,176 ✓
2	17:58	4,000	0,6	0,280	0,600	0,168	80	0,688	1,000	0,631	0,540	0,341	8,149 ✓
3	18:00	6,000	0,6	0,260	0,600	0,156	80	0,575	1,000	0,382	0,500	0,191	4,563 ✓
4	18:02	8,000	0,6	0,240	0,600	0,144	80	0,189	1,000	0,302	0,380	0,115	2,744 ✓
5	18:05	10,000	0,6	0,140	0,600	0,084	80	0,415	1,000	-0,032	0,270	-0,009	-0,207 ✓
6	18:07	12,000	0,6	0,130	0,600	0,078	80	-0,480	1,000	-0,027	0,280	-0,007	-0,178 ✓
7	18:10	14,000	0,6	0,150	0,600	0,090	80	0,426	1,000	0,332	0,410	0,136	3,258 ✓
8	18:17	16,000	0,6	0,260	0,600	0,156	80	0,238	1,000	0,305	0,620	0,189	4,515 ✓
9	18:19	18,000	0,6	0,360	0,600	0,216	80	0,371	1,000	0,240	0,800	0,192	4,597 ✓
10	18:21	20,000	0,6	0,440	0,600	0,264	80	0,110	1,000	0,167	0,860	0,143	3,427 ✓
11	18:23	22,000	0,6	0,420	0,600	0,252	80	0,224	1,000	0,130	0,880	0,115	2,743 ✓
12	18:25	24,000	0,6	0,460	0,600	0,276	80	0,037	1,000	0,178	1,200	0,213	5,101 ✓
13	18:27	26,000	0,2/0,5/0,8	0,740	0,200	0,148	80	0,411	1,000	0,455	1,400	0,637	15,220 ✓
13	18:27	26,000	0,2/0,5/0,8	0,740	0,500	0,444	80	0,361	1,000	0,455	1,400	0,637	15,220 ✓
13	18:27	26,000	0,2/0,5/0,8	0,740	0,800	0,592	80	0,141	1,000	0,455	1,400	0,637	15,220 ✓
14	18:34	28,000	0,2/0,8	0,660	0,200	0,132	80	0,616	1,000	0,446	1,360	0,607	14,502 ✓
14	18:34	28,000	0,2/0,8	0,660	0,800	0,528	80	0,567	1,000	0,446	1,360	0,607	14,502 ✓
15	18:37	30,000	0,2/0,6/0,8	0,700	0,200	0,140	80	0,508	1,000	0,328	1,360	0,447	10,674 ✓
15	18:37	30,000	0,2/0,6/0,8	0,700	0,600	0,420	80	0,339	1,000	0,328	1,360	0,447	10,674 ✓
15	18:37	30,000	0,2/0,6/0,8	0,700	0,800	0,560	80	0,018	1,000	0,328	1,360	0,447	10,674 ✓
16	18:41	32,000	0,2/0,8	0,660	0,200	0,132	80	0,460	1,000	0,199	1,320	0,263	6,286 ✓
16	18:41	32,000	0,2/0,8	0,660	0,800	0,528	80	0,252	1,000	0,199	1,320	0,263	6,286 ✓
17	18:44	34,000	0,2/0,8	0,660	0,200	0,132	80	0,078	1,000	0,021	0,231	0,005	0,118 ✓
17	18:44	34,000	0,2/0,8	0,660	0,800	0,528	80	0,007	1,000	0,021	0,231	0,005	0,118 ✓
18	18:49	34,700	None	0,000	0,000	0,000	0	0,000		0,000	0,000	0,000	0,000 ✓

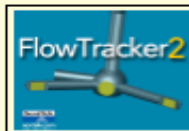
Slika 19. Treća stranica izvještaja za mjerenu br.1 [8]

### 3.3.2.2. Mjerenje br.2 – lokacija 1

Drugo mjerenje pomoću uređaja FlowTracker2 izvršeno je na lokaciji 1 dana 30.06.2022.godine (Slika 23).



Slika 20. Prva stranica izvještaja mjerenja br.2 – lokacija 1 [8]



## Discharge Measurement Summary

<b>Site name</b>	Donja dobra
<b>Site number</b>	1
<b>Operator(s)</b>	Lucija
<b>File name</b>	20220630-180648_Donja dobra.ft
<b>Comment</b>	

Station Warning Settings		
Station discharge OK	Station discharge < 5,000%	
Station discharge caution	5,000% >= Station discharge < 10,000%	
Station discharge warning	Station discharge >= 10,000%	



Slika 21. Druga stranica izvještaja mjerenja br.2 - lokacija 1 [8]

Treća stranica ovoga izvještaja sadrži tablični prikaz svih podataka dobivenih mjerjenjem (Slika 22.)



## Discharge Measurement Summary

<b>Site name</b>	Donja dobra												
<b>Site number</b>	1												
<b>Operator(s)</b>	Lucija												
<b>File name</b>	20220630-180648_Donja dobra.ft												
<b>Comment</b>													
Measurement results													
St#	Time	Location (m)	Method	Depth (m)	%Depth	Measured Depth (m)	Samples	Velocity (m/s)	Correction	Mean Velocity (m/s)	Area (m <sup>2</sup> )	Flow (m <sup>3</sup> /s)	%Q
0	17:28	0,000	None	0,860	0,000	0,000	0	0,000		0,176	1,580	0,277	6,671 ✓
1	17:28	2,000	0,2/0,8	0,720	0,200	0,144	80	0,480	1,000	0,444	1,140	0,506	12,161 ✓
1	17:28	2,000	0,2/0,8	0,720	0,800	0,576	80	0,222	1,000	0,444	1,140	0,506	12,161 ✓
2	17:32	4,000	0,6	0,420	0,600	0,252	80	0,536	1,000	0,562	0,730	0,410	9,863 ✓
3	17:34	6,000	0,6	0,310	0,600	0,186	80	0,588	1,000	0,524	0,490	0,257	6,172 ✓
4	17:36	8,000	0,6	0,180	0,600	0,108	80	0,460	1,000	0,421	0,380	0,160	3,850 ✓
5	17:37	10,000	0,6	0,200	0,600	0,120	80	0,383	1,000	0,298	0,320	0,095	2,295 ✓
6	17:38	12,000	0,6	0,120	0,600	0,072	80	0,214	1,000	0,141	0,230	0,032	0,779 ✓
7	17:40	14,000	0,6	0,110	0,600	0,066	80	0,068	1,000	0,211	0,250	0,053	1,271 ✓
8	17:42	16,000	0,6	0,140	0,600	0,084	80	0,355	1,000	0,297	0,420	0,125	3,005 ✓
9	17:43	18,000	0,6	0,280	0,600	0,168	80	0,240	1,000	0,250	0,580	0,145	3,483 ✓
10	17:45	20,000	0,6	0,300	0,600	0,180	80	0,260	1,000	0,261	0,670	0,175	4,200 ✓
11	17:47	22,000	0,6	0,370	0,600	0,222	80	0,262	1,000	0,276	0,850	0,235	5,644 ✓
12	17:48	24,000	0,6	0,480	0,600	0,288	80	0,290	1,000	0,233	0,880	0,205	4,933 ✓
13	17:50	26,000	0,6	0,400	0,600	0,240	80	0,176	1,000	0,172	1,130	0,195	4,684 ✓
14	17:52	28,000	0,2/0,8	0,730	0,200	0,146	80	0,252	1,000	0,293	1,270	0,372	8,951 ✓
14	17:52	28,000	0,2/0,8	0,730	0,800	0,584	80	0,086	1,000	0,293	1,270	0,372	8,951 ✓
15	17:55	30,000	0,2/0,8	0,540	0,200	0,108	80	0,603	1,000	0,411	1,080	0,444	10,669 ✓
15	17:55	30,000	0,2/0,8	0,540	0,800	0,432	80	0,231	1,000	0,411	1,080	0,444	10,669 ✓
16	17:59	32,000	0,2/0,8	0,540	0,200	0,108	80	0,494	1,000	0,350	1,070	0,375	9,013 ✓
16	17:59	32,000	0,2/0,8	0,540	0,800	0,432	80	0,315	1,000	0,350	1,070	0,375	9,013 ✓
17	18:01	34,000	0,2/0,8	0,530	0,200	0,106	80	0,396	1,000	0,148	0,662	0,098	2,356 ✓
17	18:01	34,000	0,2/0,8	0,530	0,800	0,424	80	0,196	1,000	0,148	0,662	0,098	2,356 ✓
18	18:04	36,100	None	0,100	0,000	0,000	0	0,000		0,000	0,000	0,000	0,000 ✓

Slika 22. Treća stranica izvještaja mjerjenja br.2 - lokacija 1 [8]

### 3.3.2.3. Mjerenje br.3 – lokacija 1

Treće mjerenje je izvršeno na lokaciji 1 dana 19.07.2022. (Slika 23.)

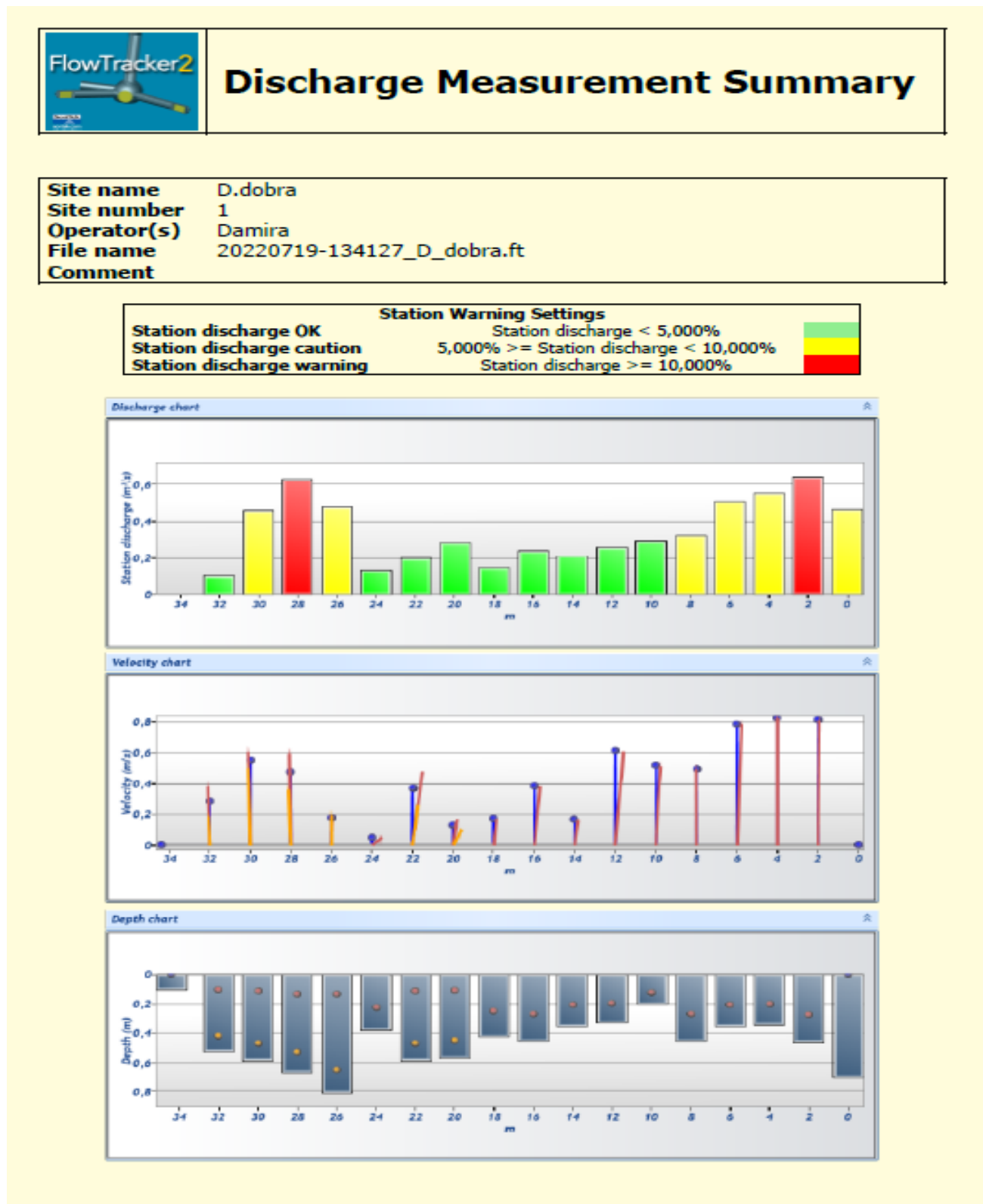


## Discharge Measurement Summary

<b>Site name</b>	D.dobra		
<b>Site number</b>	1		
<b>Operator(s)</b>	Damira		
<b>File name</b>	20220719-134127_D_dobra.ft		
<b>Comment</b>			
<b>Start time</b>	19.7.2022, 12:54	<b>Sensor type</b>	Top Setting
<b>End time</b>	19.7.2022, 13:40	<b>Handheld serial number</b>	FT2H2025030
<b>Start location latitude</b>	45,551	<b>Probe serial number</b>	FT2P2024010
<b>Start location longitude</b>	15,472	<b>Probe firmware</b>	1.30
<b>Calculations engine</b>	FlowTracker2	<b>Handheld software</b>	1.7
<b># Stations</b>	<b>Avg interval (s)</b>	<b>Total discharge (m<sup>3</sup>/s)</b>	
18	40	5,990	
<b>Total width (m)</b>	<b>Total area (m<sup>2</sup>)</b>	<b>Wetted Perimeter (m)</b>	
34,400	15,794	34,547	
<b>Mean SNR (dB)</b>	<b>Mean depth (m)</b>	<b>Mean velocity (m/s)</b>	
18,682	0,459	0,379	
<b>Mean temp (°C)</b>	<b>Max depth (m)</b>	<b>Max velocity (m/s)</b>	
22,419	0,810	0,821	
<b>Discharge Uncertainty</b> Category ISO IVE Accuracy 1,0 % Depth 0,2 % Velocity 1,0 % Width 0,1 % Method 1,8 % # Stations 2,8 % Overall 3,6 %	<b>Discharge equation</b> <b>Discharge uncertainty</b> <b>Discharge reference</b>  <b>Data Collection Settings</b> Salinity 0,000 PSS-78 Temperature - Sound speed - Mounting correction 0,000 %	Mean Section IVE Rated	
<b>Summary overview</b> No changes were made to this file Quality control warnings			

Slika 23. Prva stranica izvještaja mjerenja br. 3 - lokacija 1 [8]

Druga stranica izvještaja, kao i u prethodnim izvještajima, prikazuje grafički prikaz izmjerjenih podataka (Slika 24.).



Slika 24. Druga stranica izvještaja mjerenja br. 3 - lokacija 1 [8]

Slika 25 prikazuje tablični prikaz izmjerениh podataka.



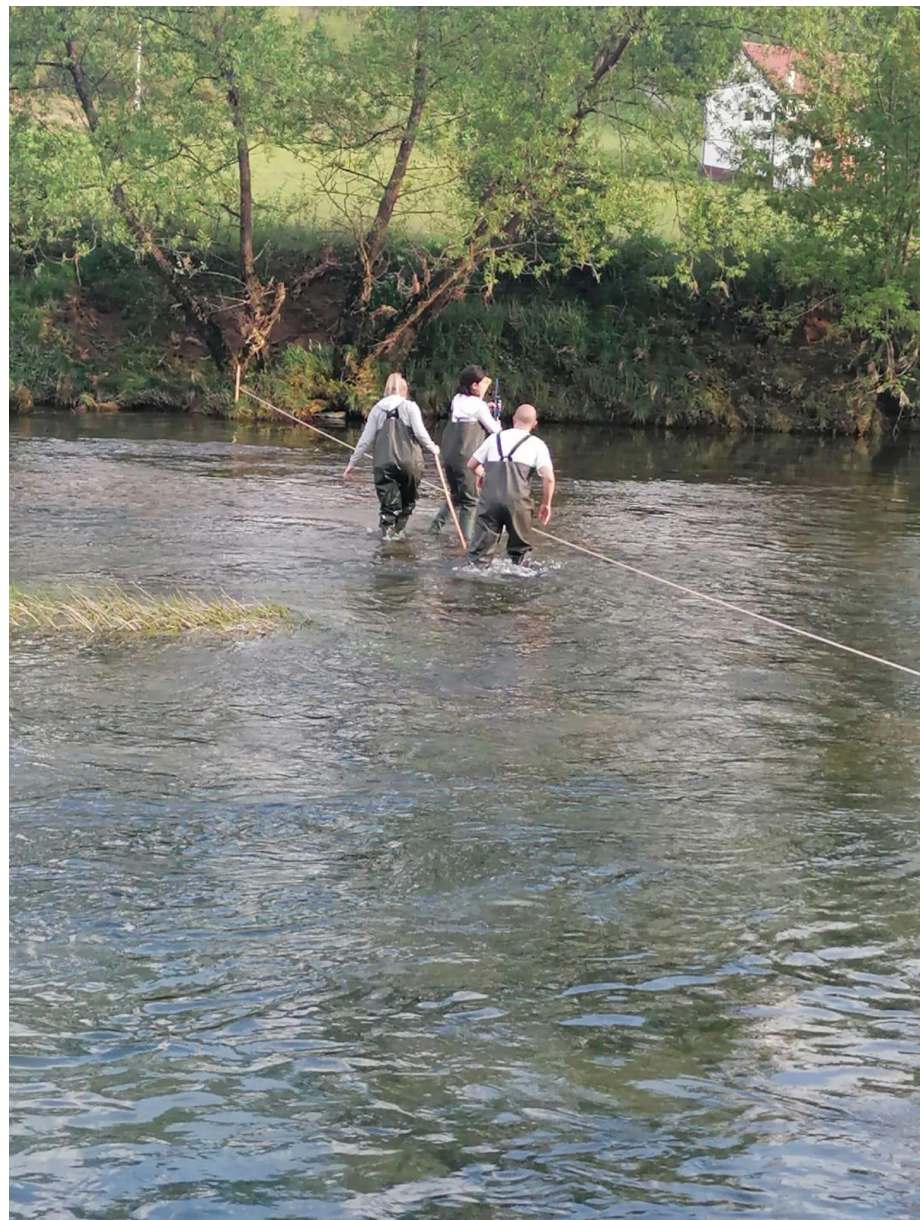
## Discharge Measurement Summary

<b>Site name</b>	D.dobra												
<b>Site number</b>	1												
<b>Operator(s)</b>	Damira												
<b>File name</b>	20220719-134127_D_dobra.ft												
<b>Comment</b>													
<b>Measurement results</b>													
Step	Time	Location (m)	Method	Depth (m)	%Depth	Measured Depth (m)	Samples	Velocity (m/s)	Correction	Mean Velocity (m/s)	Area (m <sup>2</sup> )	Flow (m <sup>3</sup> /s)	%Q
0	12:54	0,000	None	0,690	0,000	0,000	0	0,000		0,405	1,150	0,465	7,770 ✓
1	12:56	2,000	0,6	0,460	0,600	0,276	80	0,809	1,000	0,815	0,800	0,652	10,890 ✓
2	13:01	4,000	0,6	0,340	0,600	0,204	80	0,821	1,000	0,802	0,690	0,554	9,243 ✓
3	13:02	6,000	0,6	0,350	0,600	0,210	80	0,783	1,000	0,639	0,800	0,511	8,530 ✓
4	13:05	8,000	0,6	0,450	0,600	0,270	80	0,494	1,000	0,505	0,650	0,328	5,477 ✓
5	13:08	10,000	0,6	0,200	0,600	0,120	80	0,516	1,000	0,563	0,530	0,298	4,982 ✓
6	13:11	12,000	0,6	0,330	0,600	0,198	80	0,610	1,000	0,388	0,680	0,264	4,400 ✓
7	13:12	14,000	0,6	0,350	0,600	0,210	80	0,165	1,000	0,274	0,800	0,220	3,666 ✓
8	13:14	16,000	0,6	0,450	0,600	0,270	80	0,384	1,000	0,278	0,870	0,242	4,034 ✓
9	13:16	18,000	0,6	0,420	0,600	0,252	80	0,171	1,000	0,152	0,980	0,149	2,491 ✓
10	13:17	20,000	0,2/0,8	0,560	0,200	0,112	80	0,167	1,000	0,252	1,140	0,287	4,798 ✓
10	13:17	20,000	0,2/0,8	0,560	0,800	0,448	80	0,099	1,000	0,252	1,140	0,287	4,798 ✓
11	13:22	22,000	0,2/0,8	0,580	0,200	0,116	80	0,482	1,000	0,210	0,960	0,202	3,368 ✓
11	13:22	22,000	0,2/0,8	0,580	0,800	0,464	80	0,260	1,000	0,210	0,960	0,202	3,368 ✓
12	13:24	24,000	0,6	0,380	0,600	0,228	80	0,049	1,000	0,112	1,190	0,134	2,230 ✓
13	13:26	26,000	0,2/0,8	0,810	0,200	0,138	80	0,155	1,000	0,326	1,470	0,479	7,992 ✓
13	13:26	26,000	0,2/0,8	0,810	0,800	0,642	80	0,195	1,000	0,326	1,470	0,479	7,992 ✓
14	13:32	28,000	0,2/0,8	0,660	0,200	0,132	80	0,594	1,000	0,515	1,240	0,639	10,661 ✓
14	13:32	28,000	0,2/0,8	0,660	0,800	0,528	80	0,359	1,000	0,515	1,240	0,639	10,661 ✓
15	13:35	30,000	0,2/0,8	0,580	0,200	0,116	80	0,607	1,000	0,419	1,100	0,461	7,700 ✓
15	13:35	30,000	0,2/0,8	0,580	0,800	0,464	80	0,500	1,000	0,419	1,100	0,461	7,700 ✓
16	13:37	32,000	0,2/0,8	0,520	0,200	0,104	80	0,384	1,000	0,142	0,744	0,106	1,768 ✓
16	13:37	32,000	0,2/0,8	0,520	0,800	0,416	80	0,186	1,000	0,142	0,744	0,106	1,768 ✓
17	13:40	34,400	None	0,100	0,000	0,000	0	0,000		0,000	0,000	0,000	0,000 ✓

Slika 25. Treća stranica izvještaja mjerenja br.3 - lokacija 1 [8]

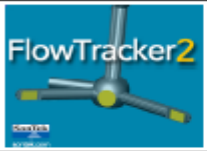
### 3.3.2.4. Mjerenje na lokaciji br.2

Mjerenje na lokaciji 2 prema slici 14 izvršeno je pomoću uređaja FlowTracker2, 800 metara nizvodno od Matinog mlina na profilu rijeke Dobre.



Slika 26. Mjerenje na lokaciji 2 [8]

Mjerenja su izvršena za vrijeme uobičajenog (niskog) vodostaja rijeke Dobre (Slika 27.).

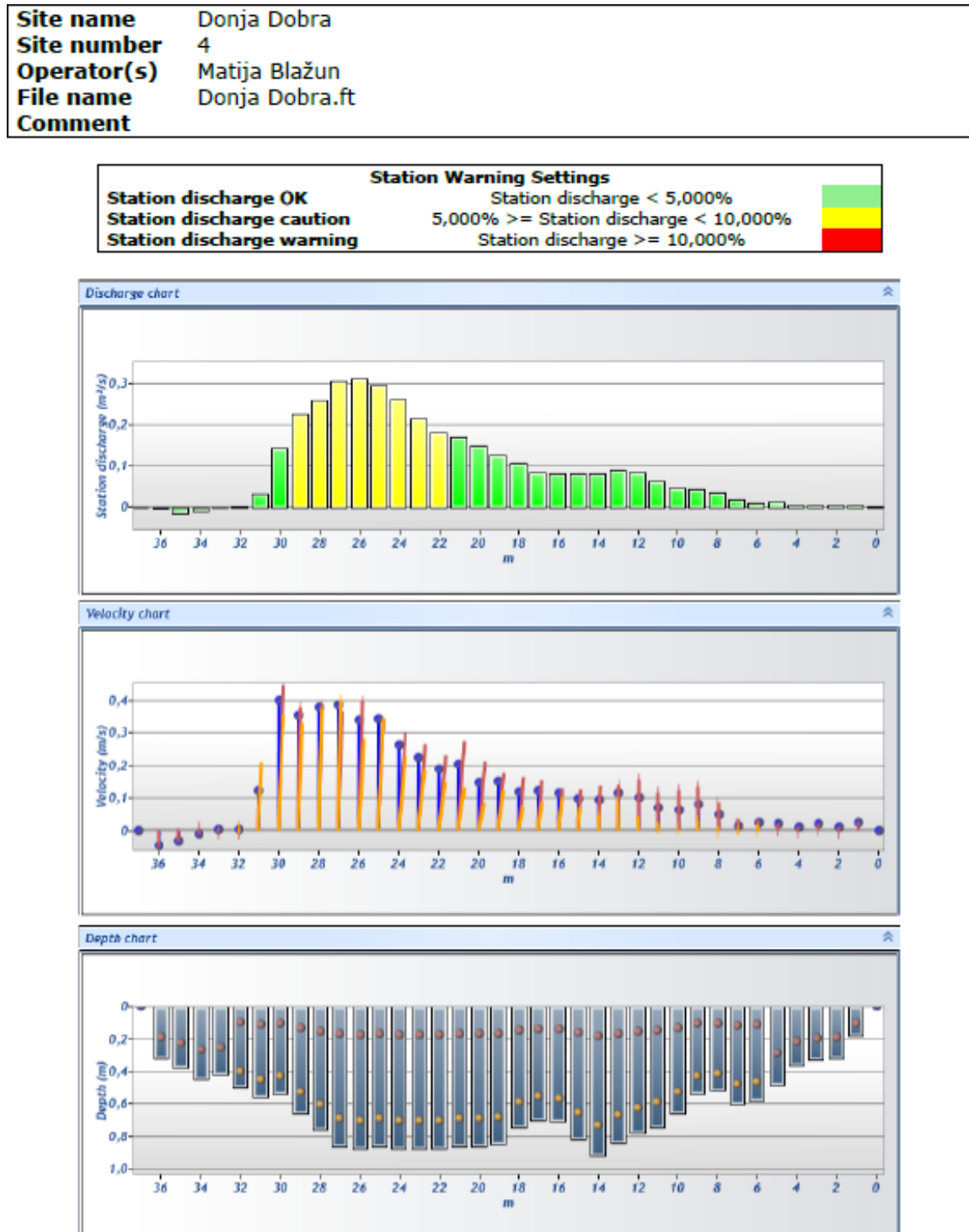


## Discharge Measurement Summary

<b>Site name</b>	Donja Dobra	
<b>Site number</b>	4	
<b>Operator(s)</b>	Matija Blažun	
<b>File name</b>	Donja Dobra.ft	
<b>Comment</b>		
<b>Start time</b>	8.9.2021. 13:09	
<b>End time</b>	8.9.2021. 15:49	
<b>Start location latitude</b>	45,551	
<b>Start location longitude</b>	15,477	
<b>Calculations engine</b>	FlowTracker2	
<b>Sensor type</b>	Top Setting	
<b>Handheld serial number</b>	FT2H2025030	
<b>Probe serial number</b>	FT2P2024010	
<b>Probe firmware</b>	1.30	
<b>Handheld software</b>	1.7	
<b># Stations</b>	<b>Avg interval (s)</b>	<b>Total discharge (m<sup>3</sup>/s)</b>
38	40	3,527
<b>Total width (m)</b>	<b>Total area (m<sup>2</sup>)</b>	<b>Wetted Perimeter (m)</b>
37,000	23,220	37,154
<b>Mean SNR (dB)</b>	<b>Mean depth (m)</b>	<b>Mean velocity (m/s)</b>
17,149	0,628	0,152
<b>Mean temp (°C)</b>	<b>Max depth (m)</b>	<b>Max velocity (m/s)</b>
19,949	0,920	0,444
<b>Discharge Uncertainty</b>	<b>Discharge equation</b>	<b>Mean Section</b>
<b>Category</b>	<b>ISO</b>	<b>IVE</b>
<b>Accuracy</b>	1,0 %	Rated
<b>Depth</b>	0,1 %	
<b>Velocity</b>	0,3 %	
<b>Width</b>	0,1 %	
<b>Method</b>	0,8 %	
<b># Stations</b>	1,4 %	
<b>Overall</b>	1,9 %	
<b>Discharge uncertainty</b>	<b>Discharge reference</b>	<b>IVE</b>
<b>Data Collection Settings</b>		
<b>Salinity</b>	0,000 PSS-78	
<b>Temperature</b>	-	
<b>Sound speed</b>	-	
<b>Mounting correction</b>	0,000 %	
<b>Summary overview</b>		
No changes were made to this file		
Quality control warnings		

Slika 27. Prva stranica izvještaja za mjerenje na lokaciji 2 [13]

Kao i na prethodnim mjerjenjima, druga stranica izvještaja grafički prikazuje izmjerene podatke (Slika 28.).



Slika 28. Druga stranica izvještaja za mjerjenje na lokaciji 2 [13]

Četvrto mjerjenje sastoji se od 37 mjernih točaka, budući da je korito široko 37 m. Iz tog razloga, broj mjernih profila veći je od tabličnih prikaza podataka na prva tri mjerjenja (Slika 29.). [13]

Measurement results														
St#	Time	Location (m)	Method	Depth (m)	%Depth	Measured Depth (m)	Samples	Velocity (m/s)	Corrector	Mean Velocity (m/s)	Area (m <sup>2</sup> )	Flow (m <sup>3</sup> /s)	%Q	
0	13:09	0,000	None	0,000	0,000	0,000	0	0,000		0,012	0,090	0,001	0,030	✓
1	13:09	1,000	0,6	0,180	0,500	0,108	80	0,024	1,000	0,017	0,250	0,004	0,122	✓
2	13:15	2,000	0,6	0,320	0,500	0,192	80	0,011	1,000	0,014	0,325	0,005	0,132	✓
3	13:18	3,000	0,6	0,330	0,500	0,198	80	0,018	1,000	0,013	0,345	0,004	0,125	✓
4	13:21	4,000	0,6	0,360	0,500	0,216	80	0,008	1,000	0,014	0,420	0,006	0,166	✓
5	13:24	5,000	0,6	0,480	0,500	0,288	80	0,020	1,000	0,022	0,530	0,012	0,334	✓
6	13:26	6,000	0,2/0,8	0,580	0,200	0,116	80	0,031	1,000	0,019	0,590	0,011	0,319	✓
6	13:26	6,000	0,2/0,8	0,580	0,800	0,464	80	0,017	1,000	0,019	0,590	0,011	0,319	✓
7	13:31	7,000	0,2/0,8	0,600	0,200	0,120	80	0,035	1,000	0,031	0,560	0,017	0,486	✓
7	13:31	7,000	0,2/0,8	0,600	0,800	0,480	80	-0,007	1,000	0,031	0,560	0,017	0,486	✓
8	13:36	8,000	0,2/0,8	0,520	0,200	0,104	80	0,087	1,000	0,064	0,530	0,034	0,962	✓
8	13:36	8,000	0,2/0,8	0,520	0,800	0,416	80	0,008	1,000	0,064	0,530	0,034	0,962	✓
9	13:40	9,000	0,2/0,8	0,540	0,200	0,108	80	0,134	1,000	0,071	0,600	0,042	1,201	✓
9	13:40	9,000	0,2/0,8	0,540	0,800	0,432	80	0,027	1,000	0,071	0,600	0,042	1,201	✓
10	13:44	10,000	0,2/0,8	0,560	0,200	0,132	80	0,124	1,000	0,065	0,700	0,045	1,288	✓
10	13:44	10,000	0,2/0,8	0,560	0,800	0,528	80	-0,003	1,000	0,065	0,700	0,045	1,288	✓
11	13:47	11,000	0,2/0,8	0,740	0,200	0,148	80	0,116	1,000	0,084	0,760	0,064	1,819	✓
11	13:47	11,000	0,2/0,8	0,740	0,800	0,592	80	0,023	1,000	0,084	0,760	0,064	1,819	✓
12	13:50	12,000	0,2/0,8	0,780	0,200	0,156	80	0,156	1,000	0,167	0,810	0,086	2,452	✓
12	13:50	12,000	0,2/0,8	0,780	0,800	0,624	80	0,043	1,000	0,167	0,810	0,086	2,452	✓
13	14:03	13,000	0,2/0,8	0,840	0,200	0,168	80	0,140	1,000	0,163	0,980	0,091	2,576	✓
13	14:03	13,000	0,2/0,8	0,840	0,800	0,672	80	0,088	1,000	0,163	0,980	0,091	2,576	✓
14	14:07	14,000	0,2/0,8	0,920	0,200	0,184	80	0,137	1,000	0,095	0,870	0,083	2,356	✓
14	14:07	14,000	0,2/0,8	0,920	0,800	0,736	80	0,048	1,000	0,095	0,870	0,083	2,356	✓
15	14:10	15,000	0,2/0,8	0,820	0,200	0,164	80	0,126	1,000	0,167	0,765	0,082	2,326	✓
15	14:10	15,000	0,2/0,8	0,820	0,800	0,656	80	0,071	1,000	0,167	0,765	0,082	2,326	✓
16	14:13	16,000	0,2/0,8	0,710	0,200	0,142	80	0,129	1,000	0,118	0,705	0,083	2,367	✓
16	14:13	16,000	0,2/0,8	0,710	0,800	0,568	80	0,103	1,000	0,118	0,705	0,083	2,367	✓
17	14:16	17,000	0,2/0,8	0,700	0,200	0,140	80	0,154	1,000	0,119	0,720	0,086	2,436	✓
17	14:16	17,000	0,2/0,8	0,700	0,800	0,560	80	0,087	1,000	0,119	0,720	0,086	2,436	✓
18	14:20	18,000	0,2/0,8	0,740	0,200	0,148	80	0,163	1,000	0,134	0,795	0,106	3,010	✓
18	14:20	18,000	0,2/0,8	0,740	0,800	0,592	80	0,072	1,000	0,134	0,795	0,106	3,010	✓
19	14:27	19,000	0,2/0,8	0,850	0,200	0,170	80	0,175	1,000	0,148	0,855	0,127	3,593	✓
19	14:27	19,000	0,2/0,8	0,850	0,800	0,680	80	0,124	1,000	0,148	0,855	0,127	3,593	✓
20	14:34	20,000	0,2/0,8	0,860	0,200	0,172	80	0,212	1,000	0,175	0,860	0,150	4,258	✓
20	14:34	20,000	0,2/0,8	0,860	0,800	0,688	80	0,082	1,000	0,175	0,860	0,150	4,258	✓
21	14:37	21,000	0,2/0,8	0,860	0,200	0,172	80	0,274	1,000	0,196	0,870	0,170	4,835	✓
21	14:37	21,000	0,2/0,8	0,860	0,800	0,688	80	0,130	1,000	0,196	0,870	0,170	4,835	✓
22	14:55	22,000	0,2/0,8	0,880	0,200	0,176	80	0,231	1,000	0,207	0,880	0,182	5,170	✓
22	14:55	22,000	0,2/0,8	0,880	0,800	0,704	80	0,149	1,000	0,207	0,880	0,182	5,170	✓
23	14:59	23,000	0,2/0,8	0,880	0,200	0,176	80	0,264	1,000	0,244	0,880	0,215	6,095	✓
23	14:59	23,000	0,2/0,8	0,880	0,800	0,704	80	0,185	1,000	0,244	0,880	0,215	6,095	✓
24	15:02	24,000	0,2/0,8	0,880	0,200	0,176	80	0,298	1,000	0,304	0,870	0,265	7,503	✓
24	15:02	24,000	0,2/0,8	0,880	0,800	0,704	80	0,230	1,000	0,304	0,870	0,265	7,503	✓
25	15:06	25,000	0,2/0,8	0,860	0,200	0,172	80	0,344	1,000	0,341	0,870	0,297	8,421	✓
25	15:06	25,000	0,2/0,8	0,860	0,800	0,688	80	0,344	1,000	0,341	0,870	0,297	8,421	✓
26	15:09	26,000	0,2/0,8	0,880	0,200	0,176	80	0,397	1,000	0,361	0,870	0,314	8,907	✓
26	15:09	26,000	0,2/0,8	0,880	0,800	0,704	80	0,280	1,000	0,361	0,870	0,314	8,907	✓
27	15:13	27,000	0,2/0,8	0,860	0,200	0,172	80	0,366	1,000	0,381	0,810	0,308	8,740	✓
27	15:13	27,000	0,2/0,8	0,860	0,800	0,688	80	0,401	1,000	0,381	0,810	0,308	8,740	✓
28	15:16	28,000	0,2/0,8	0,760	0,200	0,152	80	0,385	1,000	0,366	0,710	0,260	7,364	✓
28	15:16	28,000	0,2/0,8	0,760	0,800	0,698	80	0,370	1,000	0,366	0,710	0,260	7,364	✓
29	15:21	29,000	0,2/0,8	0,660	0,200	0,132	80	0,378	1,000	0,377	0,600	0,226	6,416	✓
29	15:21	29,000	0,2/0,8	0,660	0,800	0,528	80	0,330	1,000	0,377	0,600	0,226	6,416	✓
30	15:25	30,000	0,2/0,8	0,540	0,200	0,108	80	0,444	1,000	0,260	0,550	0,143	4,058	✓
30	15:25	30,000	0,2/0,8	0,540	0,800	0,432	80	0,356	1,000	0,260	0,550	0,143	4,058	✓
31	15:28	31,000	0,2/0,8	0,560	0,200	0,112	80	0,032	1,000	0,061	0,530	0,032	8,910	✓
31	15:28	31,000	0,2/0,8	0,560	0,800	0,448	80	0,209	1,000	0,061	0,530	0,032	8,910	✓
32	15:33	32,000	0,2/0,8	0,500	0,200	0,100	80	0,008	1,000	0,002	0,460	0,001	0,030	✓
32	15:33	32,000	0,2/0,8	0,500	0,800	0,400	80	-0,006	1,000	0,002	0,460	0,001	0,030	✓
33	15:36	33,000	0,6	0,420	0,600	0,252	80	0,004	1,000	-0,003	0,435	-0,001	-0,040	✓
34	15:38	34,000	0,6	0,450	0,600	0,270	80	-0,010	1,000	-0,022	0,415	-0,009	-0,257	✓
35	15:43	35,000	0,6	0,380	0,600	0,228	80	-0,033	1,000	-0,041	0,350	-0,014	-0,403	✓
36	15:47	36,000	0,6	0,320	0,600	0,192	80	-0,048	1,000	-0,024	0,160	-0,004	-0,108	✓
37	15:49	37,000	None	0,000	0,000	0,000	0	0,000		0,000	0,000	0,000	0,000	✓

Slika 29. Treća stranica izvještaja za mjerjenje na lokaciji 2 [13]

### **3.3.3. Postupak mjerena pomoću uređaja SO-R Flow Meter**

Dolaskom na lokaciju kod Matinog mlina i pregledom trenutnog stanja razine vode zaključeno je da se može provesti postupak mjerena. Cilj mjerena je bio definirati dubinu vode prije vodnog kola i dubinu vode iza vodnog kola pri različitim visinama zapornica (Slika 30.).



Slika 30. Određivanje visine zapornice i puštanje vode prema vodnom kolu [8]

Početna dubina vode na zapornici iznosi 10 cm dok maksimalno otvorena zapornica iznosi 63 cm pri kojoj je ujedno definiran i maksimalni dotok vode na vodeno mlinsko kolo. Podizanje zapornice na razinu višu od 63 cm nije bilo moguće zbog jakog strujanja vode.

Pomoću uređaja SQ-R Flow metra koji je postavljen na sredinu dovodnog kanala (Slike 31. i 32.) i povezivanjem uređaja sa računalom koji zapisuje i obrađuje podatke, definirani su ulazni podaci. Od ulaznih podataka upisuje se širina dovodnog kanala, visina od dna kanala do uređaja, trenutna dubina vode u kanalu te nagib dovodnog kanala. Uređaj pomoću radara bilježi brzinu i dubinu vode, a pomoću definiranih geometrijskih karakteristika dovodnog kanala proračunava brzinu i protok vode. Rezultati mjerenja prikazani su u tablici 3.



Slika 31. Postavljanje uređaja SQ-R Flow Meter [13]

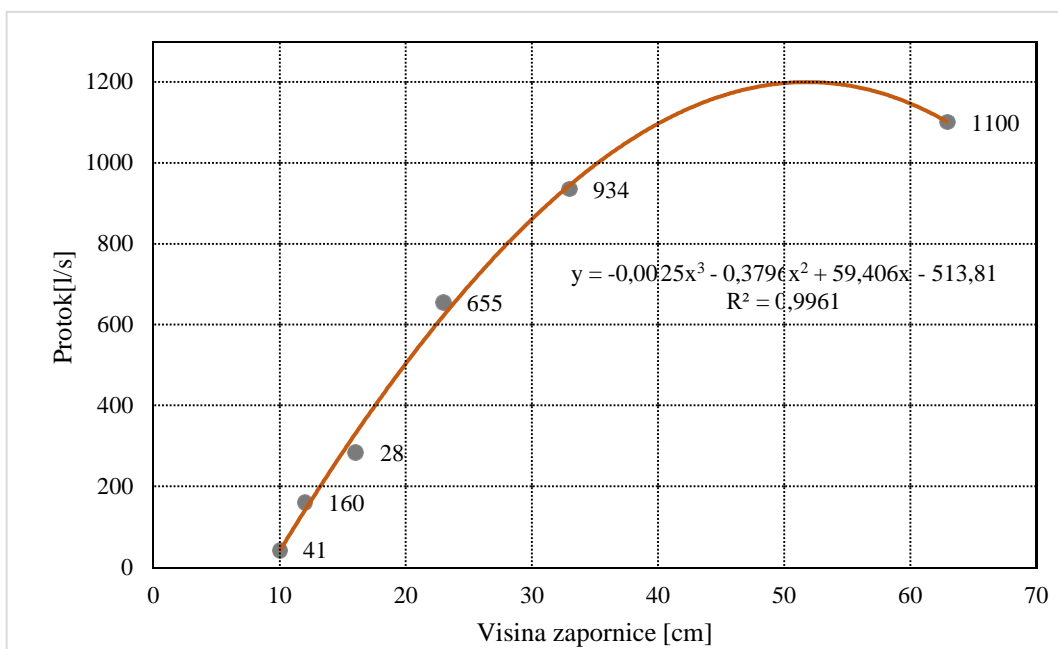


Slika 32. Analiza i obrada podataka SQ-R Flow Meter [13]

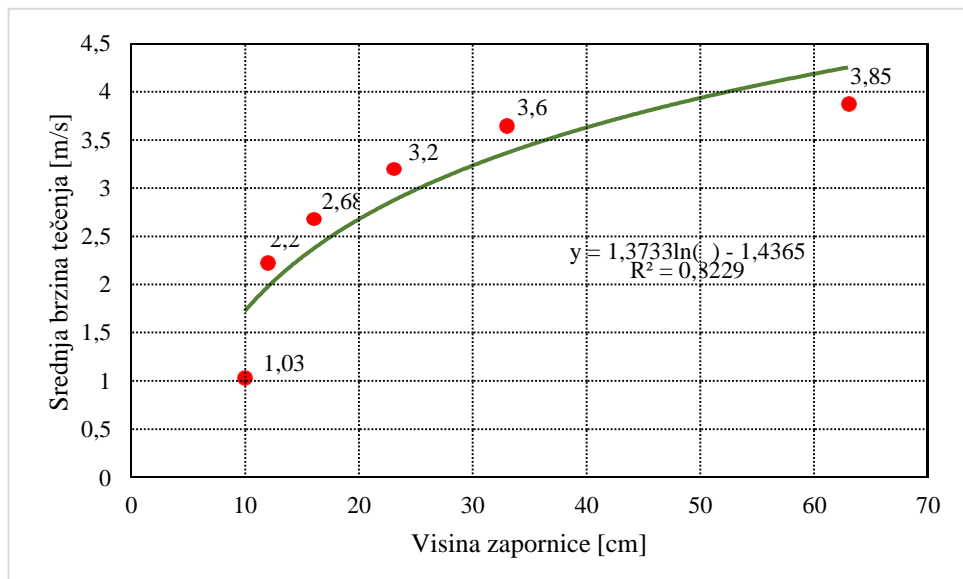
Tablica 3. Rezultati terenskih mjerjenja [8]

R.b. mjerjenja	Dubina vode na zapornici [cm]	Srednja brzina vode [m/s]	Protok [l/s]	Broj okretaja mlinskog kola [o/min]	Dubina vode na izlazu iz dovodnog kanala [cm]
1.	10	1,03	41	2,23	10
2.	12	2,20	160	3,15	11
3.	16	2,68	284	5,45	18
4.	23	3,20	655	11,50	24
5.	33	3,60	934	12,35	29
6.	63	3,85	1100	11,98	35

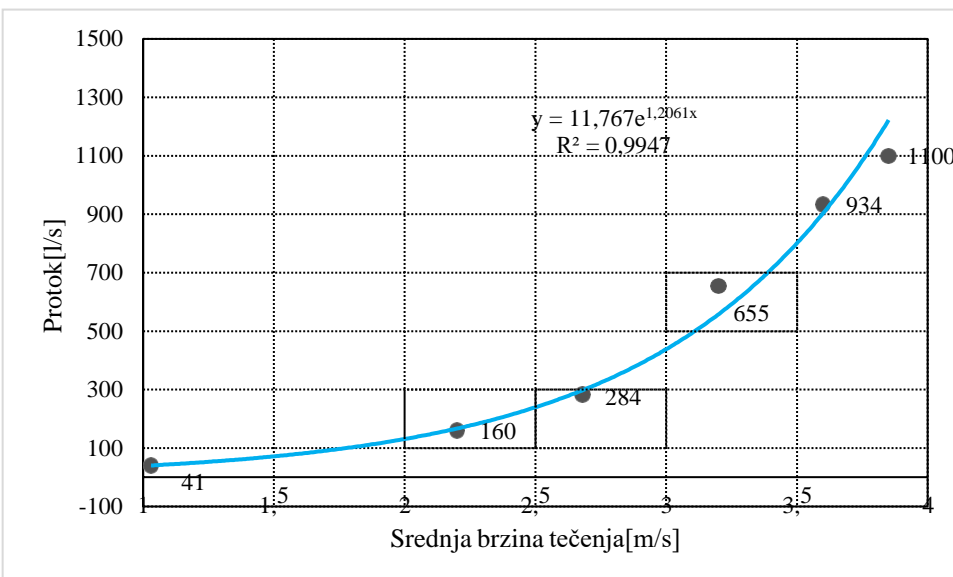
Iz dijagrama prikazanih na slikama 33-35 vidljivo je da se sa povećanjem visine zapornica povećavaju brzina tečenja vode i protok, dok je sliči 36 prikazana razlika u dubinama vode na zapornici i dubina vode na izlazu iz dovodnog kanala pri čemu je vidljivo da sa povećanjem visine zapornice raste i dubina vode na izlazu iz dovodnog kanala.



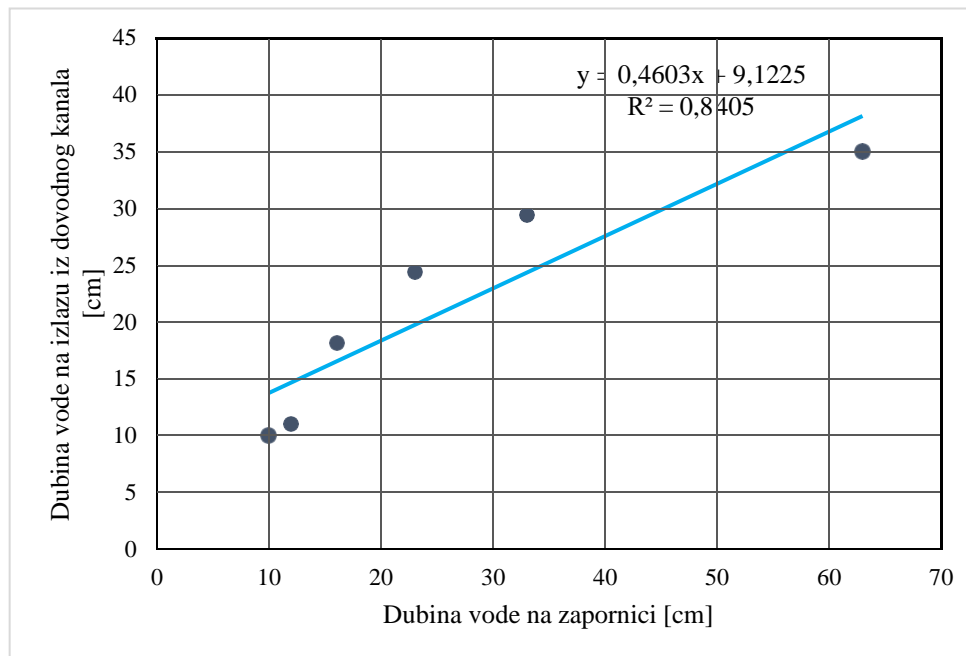
Slika 33. Ovisnost protoka o visini zapornice [8]



Slika 34. Ovisnost brzine tečenja o visini zapornice [8]



Slika 35. Ovisnost protoka i brzine tečenja [8]



Slika 36. Grafički prikaz dubine vode na zapornici i dubine vode na izlazu iz dovodnog kanala [8]

## **4. PRIMJER DIMENZIONIRANJA HIDROELEKTRANE U OBLIKU VODNOG KOLA – MATIN MLIN, DONJA DOBRA**

### **4.1. Opis lokacije i princip rada Matinog mlina**

Na Donjoj Dobri u mjestu Jaškovo nalazi se i Matin mlin (Slike 37. i 38.), što je predmet ovoga diplomskog rada.



Slika 37. Matin mlin na rijeci Dobri [4]



Slika 38. Matin mlin, Donja Dobra [8]

Na samoj lokaciji kod Matinog mlina rijeka Donja Dobra pregrađena je pomoću slapa koji omogućuje skretanje vode prema mlinu (Slika 39.).



Slika 39. Pogled na slap i Matin mlin na Donjoj Dobri [9]

Matin mlin na Donjoj Dobri u Jaškovu obuhvaća nekoliko dijelova, koji zajedno čine jednu cjelinu u samom procesu rada mlina. Prvo za istaknuti je dovodni kanal pravokutnog poprečnog presjeka ukupne duljine 12.6 m. U dovodnom kanalu se voda transportira od ulaza do mlinskog vodnog kola pri čemu ta ista voda iza vodnog kola izlazi u korito rijeke Dobre (Slike 40. i 41.).



Slika 40. Prikaz ulaza vode u dovodni kanal preko zapornice [8]



Slika 41. Prikaz izlaza dovodnog kanala [8]

Kako bi se osigurao siguran pristup i kako ne bi došlo do štetnog utjecaja na vodenim životinjski svijet, ispred dovodnog kanala postavljene su zaštitne rešetke koje sprečavaju prolaz vodenim životnjama ili bilo kojim drugim predmetima koji bi mogli ošteti mlinsko kolo.

Na početku dovodnog kanala, iza zaštitnih rešetki nalaze se zapornice koje se za vrijeme rada mlini ručno otvaraju i služe za puštanje vode u dovodni kanal u kojem se nalazi mlinsko vodeno kolo (Slika 42.).



Slika 42. Prikaz zapornice [8]

Količina vode koja ulazi u dovodni kanal ovisi o visini podignute zapornice.

U slučaju Matinog mlina na rijeci Dobri pri postupku dimenzioniranja hidroelektrane u obliku vodnog kola u obzir se kao turbina uzima vodno kolo pri kojem se kinetička energija vode u pokretu pomoću rotacije mlinskog kola pretvara u mehaničku energiju, a mehanička energija rotirajućeg mlinskog vodnog kola u generatoru se pretvara u električnu energiju, koja se kasnije koristi za vlastite potrebe, a višak se distribuira u elektroenergetsku mrežu.

Prednost ovakvog načina proizvodnje električne energije je da nema potrebe za izgradnjom brana ili akumulacija, već se koristi prirodna struja vode. Mlinsko vodeno kolo i žrvanj sa prijenosnim mehanizmom povezani su drvenom gredom kvadratnog poprečnog presjeka dimenzija  $0,5 \text{ m} \times 0,5 \text{ m}$ , koja služi kao vratilo (Slike 43 i 44.).



Slika 43. Vodno kolo na Matinom mlinu [13]



Slika 44. Lopatice mlinskog kola [13]

Mlinsko kolo izrađeno je od hrastovog drveta s 28 lopatica, dimenzije lopatica iznose 1,60 m x 0,5 m. Mlinsko kolo fiksirano je na drvenu gredu koja služi kao vratilo i prenosi silu na mehanizam unutar mlina koji dalje pokreće kameni žrvanj (Slika 45.). Mlinsko kolo služi za pokretanje mlinskih kamenih koji se nalaze unutar mlina, a služe za proizvodnju brašna od žitarica. Vratilo samog mlinskog kola fiksirano je s metalnim ležajevima na metalno postolje, koje je temeljeno na kamenoj osnovi.



Slika 45. Prijenos vrtnje s mlinskog kola na kameni žrvanj [8]

## 4.2. Proračunate snage turbine u obliku vodnog kola

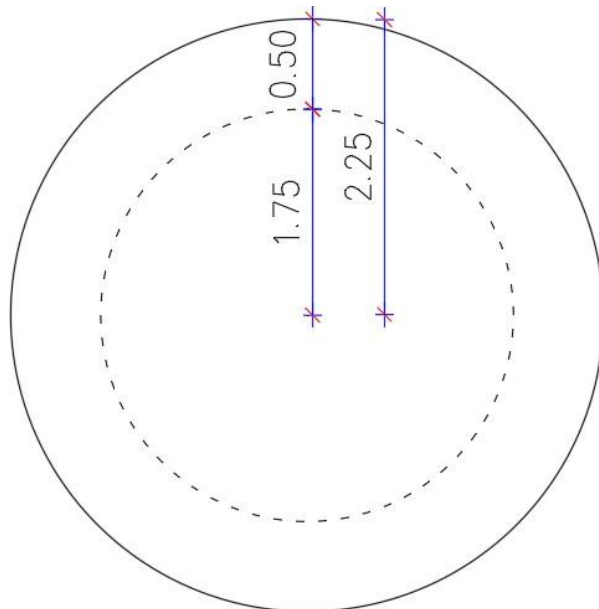
Korištenjem jednadžbe (5), dobivene su sljedeće snage turbine, prikazane u tablici 4. Brzine vode dobivene su pomoću uređaja SQ-R Flow Meter.

Tablica 4. Ulazni podaci i rezultati proračuna dobiveni radarskim mjernim uređajem SQ-R Flow Meter [13]

Rb. mjerenja:	Dubina vode na zapornici [cm]	Površina pop. profila [m <sup>2</sup> ]	Srednja brzina vode [m/s]	Snaga turbine [kW]	Količina el. energije [kWh/god.]
1.	10	0,220	1,03	0,036	72,00
2.	12	0,264	2,20	0,421	842,00
3.	16	0,352	2,68	1,01	2.020,00
4.	23	0,506	3,20	2,48	4.960,00
5.	33	0,726	3,60	5,08	10.160,00
6.	63	1,386	3,85	11,86	23.720,00
7.	78	1,716	4,10	17,74	35.480,00

Potrebne snage turbine proračunate su s obzirom na najveću teoretsku učinkovitost, koja iznosi 30 %. Ove snage proračunate su u svrhu davanja prve, grube procjene snage turbine u obliku vodnog kola. U nastavku će se dati realna procjena stvarne snage turbine.

Na slici 46. prikazan je presjek vodnog kola sa svim dimenzijama:



Slika 46. Presjek vodnog kola [8]

Brzine vode (Tablica 3.), predstavljaju brzinu vode kod lopatice vodnog kola, tj. kod ulaza u prostor vodnog kola. Obodna brzina, tj. brzina okretanja lopatica vodnog kola proračunata je korištenjem izraza (10) i prikazana je u tablici 6. Ovisno o režimu tečenja, tj. da li se radi o mirnom ili silovitom tečenju, definiraju se snage turbine. Pri tome se primjenjuje jednadžba (9) za mirni tok tečenja, odnosno jednadžbe (15-17) za siloviti tok tečenja. Režim tečenja može se utvrditi proračunom Freudovog broja ili kritične dubine. Prema [1], preporuča se korištenje kritične dubine kao pokazatelja vrste toka. Za potrebe ovog diplomskog rada, odnosno istraživanja, proračunati će se oba pokazatelja.

Sljedeći korak je definiranje vrste tečenja preko kritične dubine, odnosno Froudeovog broja, jednadžbe (7-8), na osnovu podataka iz Tablice 3.

Tablica 5. Ulazni podaci i rezultati kritične dubine i Froudeov-og broja [8]

R.b. mjerena	Dubina vode na zapornici	Srednja brzina vode	Protok	Kritična dubina	Froudeov broj
	[cm]	[m/s]	[l/s]	[cm]	
1.	10	1,03	41	3,284	1,040
2.	12	2,2	160	8,139	2,118
3.	16	2,68	284	11,932	2,017
4.	23	3,2	655	20,828	2,085
5.	33	3,6	934	26,387	2,134
6.	63	3,85	1100	29,428	2,078

Kriterij kritične dubine pokazuje da se radi o mirnom toku, dok kriterij Froudovog broja pokazuje da se radi o silovitom toku. Kao što je i pokazano u [1], primjeniti će se kriterij kritične dubine, pri čemu se usvaja mirni režim tečenja. Uvezši u obzir da se radi o plitkom vodotoku (visina lopatica približno jednaka ili manja od dubine ulazne količine vode), primjeniti će se metodologija dimenzioniranja za takve hidrauličke uvjete.

Primjenom jednadžbe (9) dobivene su snage turbine, odnosno hidroelektrane u obliku vodnog kola (tablica 6.).

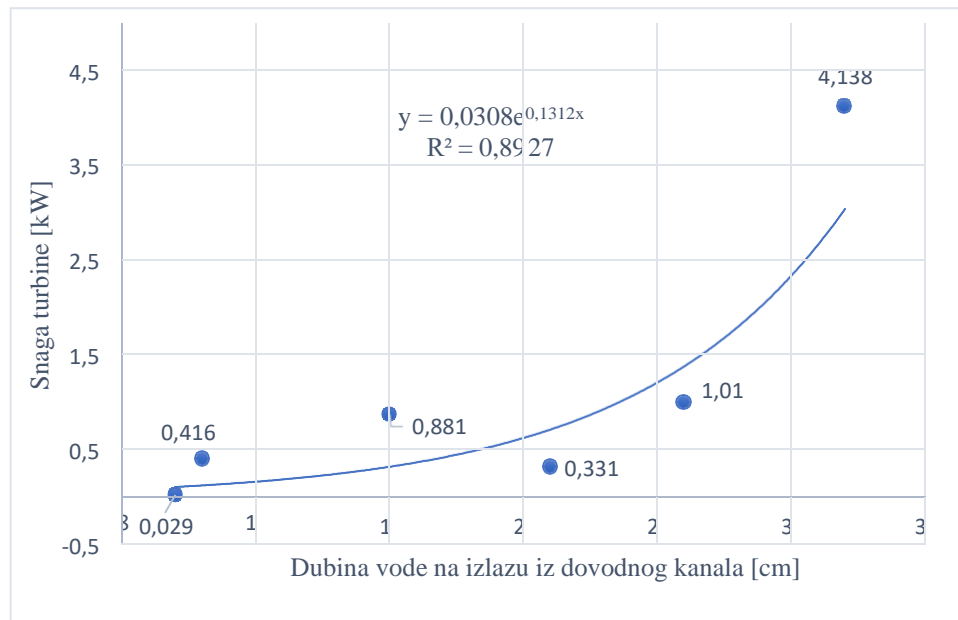
Tablica 6. Proračun snage turbine za mirni tok tečenja [8]

R.b. mjerena	Dubina vode na izlazu iz dovodnog kanala	Snaga turbine - mirni tok tečenja
	[cm]	(W)
1.	10	29,45
2.	11	416,41
3.	18	881,10
4.	24	331,38
5.	29	1009,89
6.	35	4138,06

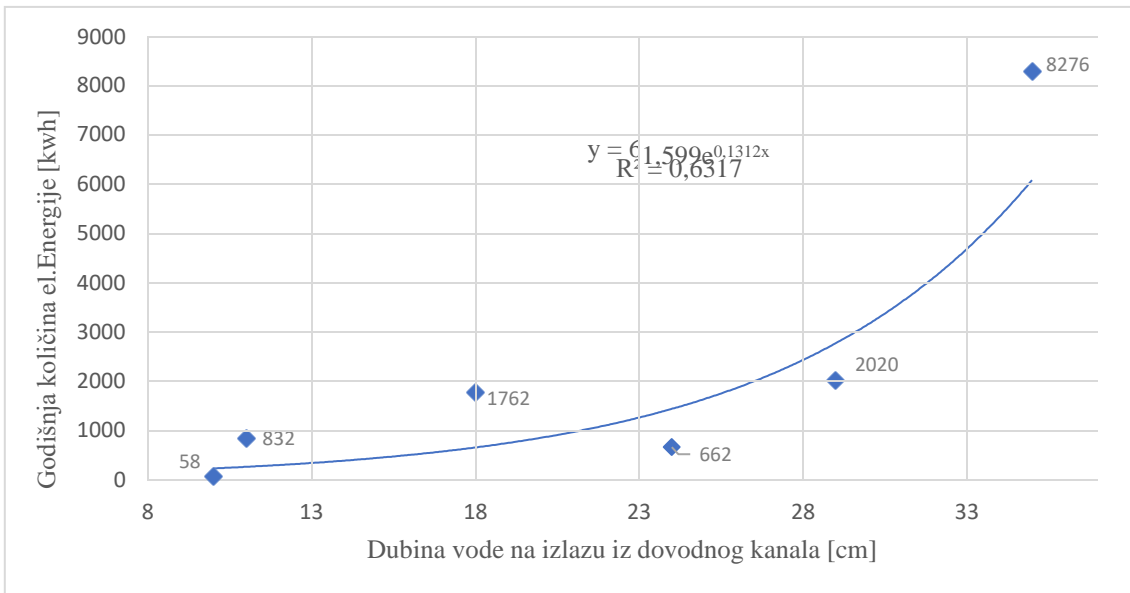
## 5. ANALIZA DOBIVENIH REZULTATA

U ovom podpoglavlju prikazani su i analizirani podaci dobiveni mjerjenjem pomoću uređaja FlowTracker2 i SQR Flow Meter, kao i rezultati dobiveni proračunom pomoću podataka dobivenih mjerjenjem. Iz proračuna snage turbine je vidljivo da se javljaju veliki otpori tečenju zbog velike mase vodnog kola, tj. same konstrukcije od dasaka, kao i samog položaja vodnog kola u odnosu na ulaz vode u dovodni kanal zbog čega i proračunate snage nisu velike. Također, javljaju se velika povećanja snage od rednog broja mjerjenja 5 što je vidljivo iz grafičkog prikaza ovisnosti snage turbine i dubini vode na izlazu iz dovodnog kanala.

Kvalitetniji uvid u potencijal proizvodnje električne energije prikazati će se kod proračuna snage i godišnje proizvodnje električne energije na osnovu rezultata dobivenih pomoću uređaja SQ-R Flow Meter. U dovodnom kanalu su pomoću uređaja SQ-R Flow Metra izvršena mjerjenja proračuna snage turbine i proizvodnje godišnje količine električne energije. Vidljivo je da povećanjem dubine vode na izlazu iz dovodnog kanala dolazi i do povećanja snage te godišnje količine proizvedene energije, slike 47. i 48. Količina električne energije proračunata je pomoću formule (6) i temelji se na osmosatnom radnom vremenu tijekom 250 radnih dana u godini.



Slika 47. Grafički prikaz ovisnosti snage turbine za mirni tok tečenja [8]



Slika 48. Grafički prikaz ovisnosti količine električne energije o dubini vode na izlazu iz dovodnog kanala [8]

Nadalje, lopatice su formirane od dasaka, koje su nepravilne i teške. Također, ulazna zapornica je dotrajala i propušta vodu čak i kad je spuštena. Time se mijenjaju hidraulički uvjeti, čime se stvaraju promjene u toku vode prema lopatici, što rezultira odstupanjima koja se ne bi pojavila u slučaju boljih tehničko-tehnoloških uvjeta.

Zbog malog ulaznog prostora, tj. raspoložive duljine betonskog kanala prije vodnog kola, a najviše iz sigurnosnih razloga nije bilo moguće izmjeriti razine vode pred ulazom u vodno kolo. No uzevši u obzir pravila struke i raspoložive spoznaje oko hidraulike i tečenja vode kod vodnih kola te duljine cijelog dovodnog kanala, dubina i ostale veličine izmjerene neposredno nakon vodnog kola dočaravaju stvarnu situaciju neposredno prije vodnog kola. Tomu u prilog ide i činjenica da se radi o mirnom režimu tečenja te da ne bi smjelo biti uspora, vrtloženja i turbulencija koje bi mogle poremetiti navedenu pretpostavku i smjernice proračuna.

## **6. Zaključak**

U radu je prikazana moguća primjena različitih postupaka dimenzioniranja hidroelektrane u obliku vodnog lica na primjeru Matinog mlina na rijeci Donjoj Dobri, a sve za ciljem izračuna snaga hidroelektrana u obliku vodnih kola i proizvodnje električne energije. U svrhu određivanja mogućnosti proizvodnje električne energije pomoću Matinog mlina provedena su terenska mjerjenja koja uključuju odlazak na lokaciju Matinog mlina, analizu postojećeg stanja na lokaciji te mjerjenje brzine tečenja vode i protoka u dovodnom kanalu. Brzina tečenja vode i protok su mjerodavne veličine potrebne za daljnju analizu i dimenzioniranje, odnosno određivanje snage turbine u obliku vodnog kola. S obzirom na hidrauličke uvjete, odabrane su jednadžbe za mirni režim tečenja u plitkom vodotoku. Ovisno o prijenosnom mehanizmu sa generatorom, postoji mogućnost povećanja snage.

Bitna stavka kod proizvodnje električne energije konkretno pomoću Matinog mlina je činjenica da ovakav način proizvodnje električne energije nema gotovo nikakvih utjecaja na okoliš. Voda koja okreće vodno kolo izlazi van bez gubitaka i bez zadržavanja. Zaštitna rešetka na ulazu u dovodni kanal ne dopušta prolazak ribama i ostalom životinjskom svijetu u vodno kolo, čime se izbjegava kontakt s lopaticama. U ovom slučaju, Matin mlin ne utječe negativno na okoliš iz razloga što ne zahtijeva dodatne promjene u prostoru, odnosno nije potrebno graditi nove dovodne kanale ili brane. Isto tako, budući rad turbine neće utjecati na migraciju riba, rakova i ostalih vodenih životinja, kao ni na biljni svijet.

Nakon provedenih mjerjenja i proračuna zaključak ovog diplomskog rada je da Matin mlin ima veliki potencijal u proizvodnji električne energije. Preporuča se zamjena teških debelih daski u vodnom kolu ili sa laksim i tanjim daskama, odnosno i sa aluminijskom konstrukcijom, no tu može doći do komplikacija radi konzervatorskih uvjeta što je svakako prethodno potrebno uzeti u obzir.

## Popis slika

Slika 1. Princip rada hidroelektrane [13] .....	3
Slika 2. Grafički prikaz ponašanja mlinskog kola za tri različita oblika tečenja [1] .....	6
Slika 3. Lokacije Matinog mlina i mjernih postaja na vodotoku Donja Dobra [12].....	11
Slika 4. Poprečni presjek rijeke Donje Dobre, mjerna postaja Lešće Toplice [12] .....	12
Slika 5. Vodostaji rijeke Donje Dobre izmjereni na mjernoj postaji Lešće Toplice [12].....	13
Slika 6. Srednji dnevni protoci rijeke Donje Dobre izmjereni na mjernoj postaja Lešće Toplice [12].....	14
Slika 7. Srednji dnevni protoci u razdoblju od 1946. godine do 2021.godine za mjernu postaju Lešće Toplice, Donja Dobra [12].....	16
Slika 8. Srednji dnevni vodostaji u razdoblju od 1946. godine do 2021.godine za mjernu postaju Lešće Toplice, Donja Dobra [12].....	17
Slika 9. Srednji dnevni protoci u razdoblju od 1946. godine do 2021.godine za mjernu postaju Stative Donje, Donja Dobra [12].....	18
Slika 10. Srednji dnevni vodostaji u razdoblju od 1946. godine do 2021.godine za mjernu postaju Stative Donje, Donja Dobra [12].....	19
Slika 11. Poprečni presjek rijeke Donje Dobre, mjerna postaja Stative Donje [12] .....	21
Slika 12. Vodostaji rijeke Donje Dobre izmjereni na mjernoj postaji Stative Donje [12].....	23
Slika 13. Protoci rijeke Donje Dobre na mjernoj postaji Stative Donje [12] .....	24
Slika 14. Satelitski prikaz lokacija mjerjenja [4] .....	25
Slika 15. Postavljanje mjerne trake na profilu rijeke Dobre [8] .....	26
Slika 16. Postupak mjerjenja Flow Tracker2 ultrazvučnim uređajem [8] .....	27
Slika 17. Prva stranica izvještaja za mjerjenje br.1 [8] .....	28
Slika 18. Druga stranica izvještaja za mjerjenje br.1 [8] .....	29
Slika 19. Treća stranica izvještaja za mjerjenje br.1 [8] .....	30
Slika 20. Prva stranica izvještaja mjerjenja br.2 – lokacija 1 [8] .....	31
Slika 21. Druga stranica izvještaja mjerjenja br.2 - lokacija 1 [8] .....	32
Slika 22. Treća stranica izvještaja mjerjenja br.2 - lokacija 1 [8] .....	33
Slika 23. Prva stranica izvještaja mjerjenja br. 3 - lokacija 1 [8].....	34
Slika 24. Druga stranica izvještaja mjerjenja br. 3 - lokacija 1 [8].....	35
Slika 25. Treća stranica izvještaja mjerjenja br.3 - lokacija 1 [8].....	36

Slika 26. Mjerenje na lokaciji 2 [8] .....	37
Slika 27. Prva stranica izvještaja za mjerenje na lokaciji 2 [13].....	38
Slika 28. Druga stranica izvještaja za mjerenje na lokaciji 2 [13].....	39
Slika 29. Treća stranica izvještaja za mjerenje na lokaciji 2 [13].....	40
Slika 30. Određivanje visine zapornice i puštanje vode prema vodnom kolu [8] .....	41
Slika 31. Postavljanje uređaja SQ-R Flow Meter [13] .....	42
Slika 32. Analiza i obrada podataka SQ-R Flow Meter [13] .....	43
Slika 33. Ovisnost protoka o visini zapornice [8].....	44
Slika 34. Ovisnost brzine tečenja o visini zapornice [8].....	44
Slika 35. Ovisnost protoka i brzine tečenja [8].....	45
Slika 36. Grafički prikaz dubine vode na zapornici i dubine vode na izlazu iz dovodnog kanala [8] .....	45
Slika 37. Matin mlin na rijeci Dobri [4] .....	46
Slika 38. Matin mlin, Donja Dobra [8] .....	47
Slika 39. Pogled na slap i Matin mlin na Donjoj Dobri [9] .....	47
Slika 40. Prikaz ulaza vode u dovodni kanal preko zapornice [8].....	48
Slika 41. Prikaz izlaza dovodnog kanala [8].....	49
Slika 42. Prikaz zapornice [8].....	50
Slika 43. Vodno kolo na Matinom mlincu [13].....	51
Slika 44. Lopatice mlinskog kola [13].....	51
Slika 45. Prijenos vrtnje s mlinskog kola na kameni žrvanj [8] .....	52
Slika 46. Presjek vodnog kola [8] .....	53
Slika 47. Grafički prikaz ovisnosti snage turbine za mirni tok tečenja [8] .....	56
Slika 48. Grafički prikaz ovisnosti količine električne energije o dubini vode na izlazu iz dovodnog kanala [8] .....	57

## Popis tablica

Tablica 1. Prikaz rezultata mjerenja na mjernej postaji Lešće Toplice [12].....	11
Tablica 2. Prikaz rezultata mjerenja postaje Stative Donje [12].....	22
Tablica 3. Rezultati terenskih mjerenja [8].....	43
Tablica 4. Ulazni podaci i rezultati proračuna dobiveni radarskim mernim uređajem SQ-R Flow Meter [13] .....	53
Tablica 5. Ulazni podaci i rezultati kritične dubine i Froudeov-og broja [8] .....	54
Tablica 6. Proračun snage turbine za mirni tok tečenja [8] .....	55

## Literatura:

- [1] Quaranta, E., (2018): Stream water wheels as renewable energy supply in flowing water: Theoretical considerations, performance assessment and design recommendations, Energy for Sustainable Development, 45:96-109
- [2] Održiv hidroenergetski razvoj na slivu Dunava, [https://www.icpdr.org/main/sites/default/files/nodes/documents/icpdr\\_hydropower\\_hr.pdf](https://www.icpdr.org/main/sites/default/files/nodes/documents/icpdr_hydropower_hr.pdf), datum pristupa 20.06.2022.
- [3] Prirodna osnova u prostornom planiranju, vode na kopnu u prostornom planiranju [https://www.pmf.unizg.hr/\\_download/repository/POuPP\\_3.pdf](https://www.pmf.unizg.hr/_download/repository/POuPP_3.pdf), datum pristupa 20.06.2022.
- [4] Google Maps, <https://www.google.com/maps/place/Matin+mlin/@45.5512627,15.4703466,16z/data=!4m5!3m4!1s0x47643934c1a6f799:0x40ff70208a5acb37!8m2!3d45.5508588!4d15.4706275>, datum pristupa 20.06.2022.
- [5] Kako vodenice čine električnu energiju? <https://hr.science19.com/how-do-watermills-make-electricity-4855>, datum pristupa 12.09.2022.
- [6] Energetski sustavi transformacija energije vode hidroelektrane [https://www.pfri.uniri.hr/web/dokumenti/uploads\\_nastava/20180427\\_094126\\_vpelic\\_ENERGETSKI.SUSTAVI.P5.Hidroelektrane.transformacija.energije.vode.pdf](https://www.pfri.uniri.hr/web/dokumenti/uploads_nastava/20180427_094126_vpelic_ENERGETSKI.SUSTAVI.P5.Hidroelektrane.transformacija.energije.vode.pdf), datum pristupa 12.09.2022.
- [7] Male hidroelektrane, <https://www.menea.hr/wp-content/uploads/2013/12/6-hidroelektrane.pdf>, datum pristupa 12.09.2022.
- [8] Blažun Marija, arhiva za potrebe diplomskog rada, 2022.
- [9] Dobra, [https://hr.wikipedia.org/wiki/Dobra#Donja\\_Dobra](https://hr.wikipedia.org/wiki/Dobra#Donja_Dobra), datum pristupa 17.09.2022.
- [10] TZP KUPA, <https://tzp-kupa.hr/kultura-matin-mlin/matin-mlin-ozalj-09/>, datum pristupa 17.09.2022.
- [11] Bonacci O., Andrić I., (2015): Hidrološka analiza krške rijeke Dobre <file:///C:/Users/Racunovodstvo2/Desktop/DOBRA.pdf>, datum pristupa:18.10.2022.

- [12] Državni hidrometeorološki zavod - hidrologija, <https://hidro.dhz.hr/>, datum pristupa 18.10.2022.
- [13] Blažun M., (2022): Mogućnost korištenja mlinova na rijekama za proizvodnju električne energije – primjer „Matinog mlina“ na rijeci Donjoj Dobri, diplomska rad, Sveučilište Sjever u Varaždinu, datum pristupa: 21.11.2022.
- [14] Müller G. i dr., (2007): Stream wheels for applications in shallow and deep water